

**Solusi Numerik Model *SEIR* Pada Penyebaran Penyakit *Covid-19* Di
Sulawesi Barat Dengan Menggunakan Metode Runge-Kutta Orde Empat**



Skripsi

Diajukan untuk Memenuhi Salah Satu Syarat Meraih Gelar
Sarjana Matematika (S.Mat) Jurusan Matematika
pada Fakultas Sains dan Teknologi
UIN Alauddin Makassar

Oleh :

ANNIZA FADHILA HAYA

NIM : 60600118009

UNIVERSITAS ISLAM NEGERI
ALAUDDIN
JURUSAN MATEMATIKA
FAKULTAS SAINS DAN TEKNOLOGI

UNIVERSITAS ISLAM NEGERI ALAUDDIN MAKASSAR

2022

PERNYATAAN KEASLIAN SKRIPSI

Saya yang bertanda tangan dibawah ini:

Nama : Anniza Fadhila Haya

NIM : 60600118009

Jurusan : Matematika

Fakultas : Sains dan Teknologi

Judul Skripsi : Solusi Numerik Model *SEIR* Pada Penyebaran Penyakit *Covid-19*
Di Sulawesi Barat Dengan Menggunakan Metode Runge-Kutta
Orde Empat

Menyatakan dengan sebenarnya bahwa skripsi yang saya tulis ini benar-benar merupakan hasil karya sendiri, bukan merupakan pengambilan data, tulisan atau pikiran orang lain yang saya akui sebagai hasil tulisan atau pikiran saya, kecuali dengan mencantumkan cuplikan pada daftar Pustaka. Apabila di kemudian hari terbukti atau dapat dibuktikan skripsi ini hasil jiplakan, maka saya bersedia menerima sanksi atas perbuatan tersebut.

Gowa, 22 Juni 2022

Penulis

Anniza Fadhila Haya
NIM. 60600118009

MOTTO

“Sebaik-baiknya manusia adalah yang baik dengan sesamanya. Namun, alangkah semakin baiknya ketika baik atau berbakti kepada kedua orang tuanya. Yakin dan percayalah, kunci dari segalanya kesuksesan ada di kedua orangtua (1% usahamu, 99% doa dan tangisan dalam sujud kedua orangtua yang memohon kepada Allah Subahanu Wata’Ala)”

PERSEMBAHAN

Skripsi ini bentuk terimakasih saya pada orang yang berharga dalam hidup saya, kedua orangtua saya. Terimakasih telah memberikan restu dan doa selama ini.

Untuk Bapak/Ibu Dosen Prode Matematika

Teman-teman terdekat saya, Matematika Angkatan 2018, Keluarga Laboratorium Matematika yang memberikan *support* untuk saya.

Dan untuk Almamater kebanggan saya, kampus tercinta Universitas Islam Negeri Alauddin Makassar.



UNIVERSITAS ISLAM NEGERI
ALAUDDIN
M A K A S S A R

PENGESAHAN SKRIPSI

Skripsi yang berjudul “Solusi Numerik Model SEIR pada Penyebaran Penyakit Covid-19 di Sulawesi Barat dengan Menggunakan Metode Runge-Kutta Orde Empat”, yang disusun oleh Saudari **Anniza Fadhila Haya**, Nim: 60600118009 Mahasiswa Jurusan Matematika pada Fakultas Sains dan Teknologi Universitas Islam Negeri (UIN) Alauddin Makassar, telah diuji dan dipertahankan dalam sidang *munaqasyah* yang diselenggarakan pada hari Jumat tanggal **22 Juni 2022 M**, bertepatan dengan **22 Dzulqaidah 1443 H**, dinyatakan telah dapat diterima sebagai salah satu syarat untuk memperoleh gelar Sarjana Matematika (S.Mat).

Makassar, 22 Juni 2022 M
22 Dzulqaidah 1443 H

DEWAN PENGUJI

Ketua	: Prof. Dr. Muhammad Halifah Mustami, M.Pd	(.....)
Sekretaris	: Wahidah Alwi, S.Si., M.Si.	(.....)
Munaqisy I	: Ilham Syata, S.Si., M.Si.	(.....)
Munaqisy II	: Rofia Masrifah, S.Pd.I., M.Pd. I	(.....)
Pembimbing I	: Risnawati Iknas, S.Si., M.Si.	(.....)
Pembimbing II	: Hikmawati Pathuddin, S.Pd., M.Si.	(.....)

Diketahui oleh:

Dekan Fakultas Sains dan Teknologi
UIN Alauddin Makassar

Prof. Dr. Muhammad Halifah Mustami, M.Pd
Nip. 19710412 200003 / 001

KATA PENGANTAR

Dengan menyebut nama Allah SWT yang Maha Pengasih lagi Maha Penyayang, segala puji baginya tuhan semesta alam, yang melimpahkan banyak rahmat, hidayah, dan inayah-Nya kepada kami, sehingga penulis dapat menyelesaikan skripsi ini yang berjudul **“Solusi Numerik Model *SEIR* Pada Penyebaran Penyakit *Covid-19* Di Sulawesi Barat Dengan Menggunakan Metode Runge-Kutta Orde Empat”**. Shalawat dan salam kepada junjungan nabi besar Muhammad Shallallahu ‘alaihi wasallam, nabi yang telah memperkenalkan agama islam, juga kepada para sahabatnya, keluarganya, dan seluruh kaum muslimin.

Penulis sadar akan banyaknya kendala yang di hadapi dalam penyusunan draf proposal ini. Maka dari itu, penulis ingin mengucapkan banyak terima kasih kepada semua pihak yang telah memberikan bantuan dan motivasi dalam penyelesaian skripsi ini.

Karya ini ku persembahkan kepada kedua orang tua ku Bapak **Drs. Gazal Idu** dan ibu **Ir. A. Nirmayanti Azas** yang telah membesarkan penulis dengan tulus dan penuh kasih sayang. Dan terkhusus kakakku **Angga Tirta Wijaya, S. STP, M. Ec Dev** dan **Fajrul Nahar, A.P.** yang dengan ikhlas meneteskan keringatnya demi terlaksananya pendidikan adik-adiknya. Dan adikku **Alya Lutfiah Maharani** yang tidak pernah lelah serta memberikan banyak bantuan tak terhitung baik secara moril maupun materil dalam menopang pendidikan penulis. Dan seluruh keluarga besar lainnya yang telah membantu dari awal memulai pendidikan hingga saat ini.

Ucapan terima kasih yang tulus serta penghargaan yang sebesar-besarnya juga penulis sampaikan kepada:

1. Bapak Prof. **Drs. Hamdan Juhannis M.A, Ph.D.**, Rektor Universitas Islam Negeri Alauddin Makassar, para wakil rektor, beserta staf/pegawai atas bantuannya selama penulis melaksanakan pendidikan di kampus peradaban ini.
2. Bapak **Prof. Dr. Muhammad Khalifah Mustami, M.Pd.**, Dekan Fakultas Sains dan Teknologi Universitas Islam Negeri Alauddin Makassar, para wakil dekan, dosen pengajar beserta staf/pegawai atas bantuannya selama penulis mengikuti pendidikan di Fakultas Sains dan Teknologi Universitas Islam Negeri Alauddin Makassar.
3. Ibu **Wahidah Alwi, S.Si., M.Si.**, selaku Ketua Prodi Matematika Fakultas Sains dan Teknologi Universitas Islam Negeri Alauddin Makassar yang selalu bersedia membimbing dan memberikan solusi serta nasihat yang terarah.
4. Ibu **Risnawati Iknas, S.Si., M.Si.**, selaku Sekertaris Prodi Matematika Fakultas Sains dan Teknologi Universitas Islam negeri Alauddin Makassar sekaligus dosen Pembimbing Akademik (PA) dan pembimbing pertama skripsi saya. Beliau selalu bersedia membimbing dan memberikan solusi serta nasihat yang terarah.
5. Ibu **Hikmawati Pathuddin, S.Pd., M.Si** selaku pembimbing kedua yang bersedia membimbing dan memberikan solusi serta nasihat yang terarah. Arahan dan bimbingan dari Ibu merupakan pembelajaran berharga dalam proses kedepannya.

6. Bapak **Ilham Syata, S.Si., M.Si** dan Ibu **Rofia Marifah, S.Pd.I., M.Pd.I.**, selaku penguji yang bersedia memberikan arahan serta nasihat dalam menyelesaikan skripsi.
7. Segenap Dosen dan Staf Prodi Matematika Fakultas Sains dan Teknologi, Universitas Islam Negeri Alauddin Makassar yang telah membekali pengetahuan, bimbingan dan arahan selama ini.
8. Kepala Laboratorium Matematika Ibu **Sri Dewi Anugrawati, S.Si.,M.Si.** serta Laboran Kak **Kaprawi S.Si., M.Si**, Kak **Bangkit Imam Putra Setiawan, S.Si**, Kak **Arif Rifani, S.Si** dan terakhir kak **Nur Wulandari, S.Mat** yang telah memberikan peneliti kesempatan untuk belajar dan menimba ilmu serta menjadi bagian dari Keluarga besar Asisten Laboratorium Matematika.
9. Kak **Samriati, S.Si**, selaku operator Jurusan Matematika Fakultas Sains & Teknologi Uin Alauddin Makassar. Yang memperlancar segala persyaratan administrasi penulis mulai dari mahasiswa baru sampai penyusunan tugas akhir penulis.
10. Teman teman **F18ONACCI** yang selalu mensupport dan memberikan masukan kepada penulis. **Nanda** dan **Ajeng** yang senantiasa menemani dan membantu untuk dapat masuk kedalam perpustakaan kampusnya untuk mencari referensi. Temam-teman **Fermat Ca.1637** yang tidak pernah bosan mendengar keluhan dan curahan hati penulis.
11. Semua pihak terkait yang tidak dapat penulis sebutkan satu persatu yang telah membantu dan memberikan support dalam penyelesaian skripsi ini.

Penulis sadar bahwa skripsi ini masih kurang sempurna, oleh karena itu, kritik dan saran yang sifatnya membangun sangat diharapkan. Akhir kata, penulis berharap semoga Allah SWT membalas segala kebaikan semua pihak yang telah membantu dalam menyelesaikan skripsi ini. Semoga skripsi ini membawa manfaat bagi kita semua dan terutama pengembangan ilmu pengetahuan.

Gowa, 22 Juni 2022

Penulis

Anniza Fadhila Haya
NIM. 60600118009



UNIVERSITAS ISLAM NEGERI
ALAUDDIN
M A K A S S A R

DAFTAR ISI

SAMPUL	
PERNYATAAN KEASLIAN SKRIPSI.....	i
MOTTO DAN PERSEMBAHAN	ii
PENGESAHAN SKRIPSI	iii
KATA PENGANTAR	iv
DAFTAR ISI.....	viii
DAFTAR GAMBAR	x
DAFTAR TABEL.....	xi
DAFTAR SIMBOL.....	xii
ABSTRAK	xiv
<i>ABSTRACT</i>	xv
BAB I PENDAHULUAN.....	1
A. Latar Belakang	1
B. Rumusan Masalah	6
C. Tujuan Penelitian	6
D. Manfaat Penelitian	7
E. Batasan Masalah.....	8
F. Sistematika Penulisan	8
BAB II TINJAUAN PUSTAKA.....	9
A. Penyakit <i>Covid-19</i>	9
B. Vaksinasi <i>Covid-19</i>	14
C. Persamaan Diferensial.....	15
D. Metode Numerik	16
E. Metode Runge-Kutta.....	17
F. Kekonvergenan Metode Runge-Kutta Orde Empat	20
G. Solusi Masalah Nilai Awal dengan Metode Runge-Kutta orde empat	21
H. Model SEIR (Susceptible Exposed Infected Recovered).....	26
BAB III METODOLOGI PENELITIAN.....	29
A. Jenis Penelitian.....	29
B. Jenis dan Sumber Data	29

C. Waktu Penelitian	29
D. Variabel dan Definisi Operasional Variabel	29
E. Prosedur Penelitian.....	30
F. Skema Penyelesaian Masalah	31
BAB IV HASIL DAN PEMBAHASAN	33
A. HASIL PENELITIAN.....	33
B. PEMBAHASAN	52
BAB V PENUTUP.....	56
A. KESIMPULAN	56
B. SARAN	56
DAFTAR PUSTAKA	57
LAMPIRAN.....	60
A. Data	61
B. Program dan Output.....	62
BIODATA PENULIS	67



DAFTAR GAMBAR

Gambar 2.1 Diagram secara umum model SEIR

Gambar 3.1 Skema Penyelesaian Masalah

Gambar 4.1 Penyebaran Jumlah *Susceptible* Penyakit Covid-19

Gambar 4.2 Penyebaran Jumlah *Exposed* Penyakit Covid-19

Gambar 4.3 Penyebaran Jumlah *Infected* Penyakit Covid-19

Gambar 4.4 Penyebaran Jumlah *Recovered* Penyakit Covid-19

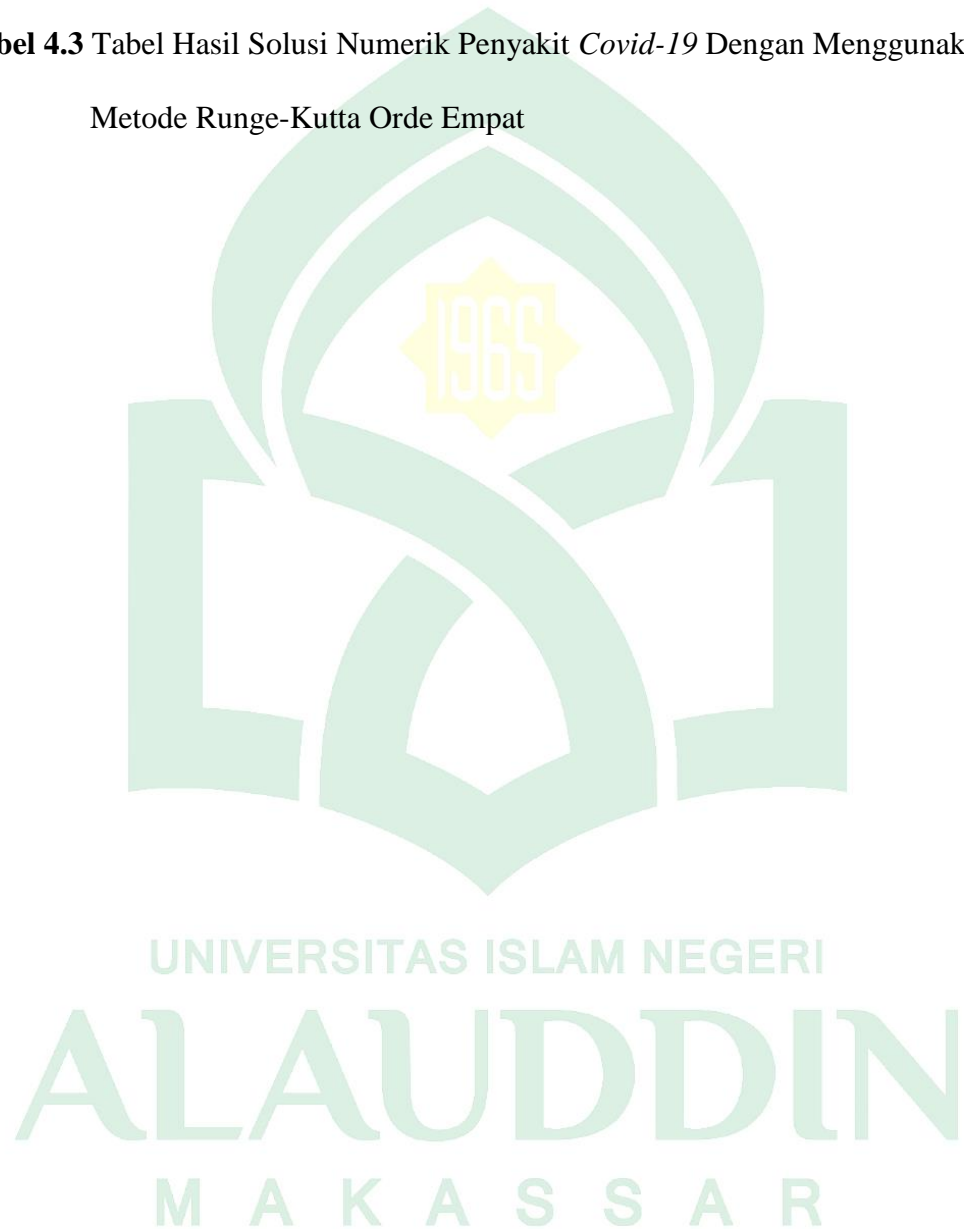


DAFTAR TABEL

Tabel 4.1 Nilai Awal

Tabel 4.2 Nilai Parameter

Tabel 4.3 Tabel Hasil Solusi Numerik Penyakit *Covid-19* Dengan Menggunakan Metode Runge-Kutta Orde Empat



DAFTAR SIMBOL

S	= Jumlah populasi individu kelas rentan
E	= Jumlah populasi individu kelas terekspose
I	= Jumlah populasi individu kelas terinfeksi
R	= Jumlah populasi individu kelas sembuh
β	= Parameter laju individu <i>Susceptible</i> menjadi individu <i>Exposed</i>
σ	= Parameter masa inkubasi
γ	= Parameter tingkat pemulihan pada individu <i>Infected</i> menjadi individu <i>Recovered</i>
μ_1	= Parameter laju tingkat kematian individu pada populasi <i>Exposed</i>
μ_2	= Parameter laju tingkat kematian individu pada populasi <i>Infected</i>
Δx	= Interval waktu atau ukuran langkah
N	= Total populasi penduduk
S_0	= Nilai awal untuk populasi individu kelas rentan
E_0	= Nilai awal untuk populasi individu kelas terekspose
I_0	= Nilai awal untuk populasi individu kelas terinfeksi
R_0	= Nilai awal untuk populasi individu kelas sembuh
S_{i+1}	= Solusi numerik menggunakan metode runge-kutta orde empat pada kelas rentan
E_{i+1}	= Solusi numerik menggunakan metode runge-kutta orde empat pada kelas eksposed

I_{i+1} = Solusi numerik menggunakan metode runge-kutta orde empat pada kelas terinfeksi

R_{i+1} = Solusi numerik menggunakan metode runge-kutta orde empat pada kelas sembuh



ABSTRAK

Penelitian ini membahas tentang penyebaran penyakit *Covid-19* di Sulawesi Barat dengan penerapan model SEIR dengan metode runge-kutta orde empat. Penelitian ini berjenis penelitian terapan dengan tujuan yaitu untuk memperoleh model SEIR dan mendapatkan solusi numerik dari model SEIR pada penyakit *Covid-19*. Model matematika penyakit *Covid-19* berbentuk sistem persamaan diferensial yang mencakup variabel S (Susceptible), E (Exposed), I (Infected), dan R (Recovery). Model tersebut menggunakan parameter masa inkubasi 14 hari dan masa pemulihan 30 hari. Hasil penelitian yang diperoleh pada pertengahan minggu pertama agustus 2020 dengan nilai awal yaitu $S_0 = 1414095$, $E_0 = 4765$, $I_0 = 230$, $R_0 = 140$ dan interval waktu $\Delta x = 0,5$ minggu adalah $S = 1413718$, $E = 4046$, $I = 1223$, $R = 227$. Laju populasi rentan mengalami penurunan yang disebabkan adanya kontak individu terinfeksi, sedangkan untuk populasi eksposes, terinfeksi dan sembuh mengalami peningkatan.

Kata Kunci: *Coronavirus disease 2019, Model SEIR, Solusi Numerik*



ABSTRACT

This research studies about the spread of the Covid-19 disease in West Sulawesi by applying the SEIR model with the fourth-order runge-kutta method. The type of research is applied research with the aim of obtain the SEIR model and to determine the numerical solution of the SEIR model on the spread of disease Covid-19. The mathematical model of the Covid-19 disease is in the form of a system of differential equations that includes the variables S (Susceptible), E (Exposed), I (Infected), and R (Recovery). Parameters of the model are 14 days incubation period and 30 days recovery period. The results obtained in the middle of the first week of August 2020 with an initial value of $S_0 = 1414095$, $E_0 = 4765$, $I_0 = 230$, $R_0 = 140$ and time interval $\Delta x = 0,5$ weeks, then the results obtained was $S = 1413718$, $E = 4046$, $I = 1223$, $R = 227$. The rate of the susceptible population decreased due to the contact of infected individuals, while the exposed, infected and recovered population increased.

Keywords: Coronavirus disease 2019, SEIR Model, Numerical Solution



BAB I

PENDAHULUAN

A. Latar Belakang

Matematika mempunyai peran penting dalam perkembangan IPTEK (Ilmu Pengetahuan dan Teknologi) di zaman modern ini. Salah satu perkembangannya yaitu model matematika. Banyak fenomena yang ada dikalangan masyarakat yang dapat diamati dan dianalisa menggunakan model matematika. Model matematika merupakan representasi abstrak dari fenomena yang dibangun dengan menggunakan persamaan yang menghasilkan perspektif dari perilaku umum suatu peristiwa.

Pemodelan matematika dapat didefinisikan sebagai proses membuat, menafsirkan, memverifikasi, merevisi, dan menggeneralisasi dari situasi yang ada di kehidupan nyata. Dalam era informasi yang berbasis teknologi ini, banyak peneliti yang telah menunjukkan kebutuhan pemodelan matematika dalam basis aplikasi untuk mengembangkan kemampuan berpikir analitis, memecahkan masalah, dan kualifikasi.

Pemodelan matematika merupakan bentuk formulasi dari hampir semua permasalahan yang ada dalam kehidupan nyata, dimana dapat digunakan sebagai proses untuk menjelaskan, memprediksi, dan mengendalikan permasalahan kehidupan. Persamaan Diferensial merupakan salah satu cara untuk menyelesaikan formulasi tersebut. Adapun masalah yang dapat dimodelkan tentang penyakit-penyakit yang ada di seluruh dunia yaitu salah satunya model matematika penyebaran *Coronavirus Disease 2019*.

Kantor *World Health Organization* (WHO) China pada tanggal 31 Desember 2019 memberi tahu tentang kasus pneumonia etiologi yang belum kenal penyebabnya yang ditemui di kota Wuhan, Hubei, Tiongkok. Jumlah kasus serta negara yang terdampak *Covid-19* atau *Coronavirus disease 2019* bertambah sebesar 3 kali lipat di luar China. Terdapat lebih dari 118.000 kasus di 114 negara, 4.291 orang yang telah kehilangan nyawa, dan ribuan lainnya memperjuangkan kehidupannya di rumah sakit. Memandang tingkatan penyebaran dan keparahan penyakit yang mengkhawatirkan, maka pada tanggal 11 Maret 2020 WHO menetapkan *Covid-19* sebagai *Pandemic*.¹

Pada tanggal 1 September 2021, pemerintah Indonesia melaporkan 4.100.138 (10.337 kasus baru) yang telah dikonfirmasi kasus *Covid-19*, 133.676 (653 kasus baru) meninggal, dan 3.776.891 kasus *recovered* yang ditemukan dari 510 distrik di sepanjang 34 provinsi. Pada tanggal yang sama, jumlah orang yang telah divaksin yaitu untuk *Fully Vaccinated* 36.454.433 dan *Partially Vaccinated* 27.775.457.² Pemerintah Indonesia menekankan bahwa sangat penting bagi mereka yang telah terinfeksi oleh *Covid-19* untuk mendapatkan vaksinasi, dimana untuk mengurangi risiko penyakit parah dan kematian. Walaupun telah melakukan vaksin *Covid-19*, namun ini tidak menjamin perlindungan 100% terhadap virus. Maka masyarakat harus senantiasa mematuhi protokol kesehatan dikarenakan bahwa *Covid-19* ini

¹ *World Health Organization* (WHO). "Novel Coronavirus (2019-nCoV)". *Situation Reports-51: Coronavirus disease (Covid-19) Weekly Epidemiological Update and Weekly Operational Update*. 11 Maret 2020. h. 1. Available: <https://www.who.int/emergencies/diseases/novel-coronavirus-2019/situation-reports>

² *World Health Organization* (WHO) Indonesia. "Coronavirus Disease 2019 (Covid-19)". *Situation Report-70*. 1 September 2021. h. 1. Available: <https://www.who.int/indonesia/news/novel-coronavirus/situation-reports>

dapat menyebar melalui kontak dengan individu yang telah terinfeksi. Rasulullah Shallallahu ‘alaihi wasallam bersabda:

قَالَ رَسُولُ اللَّهِ صَلَّى اللَّهُ عَلَيْهِ وَسَلَّمَ الطَّاعُونَ آيَةُ الرَّجْزِ ابْتَلَى اللَّهُ عَزَّ وَجَلَّ بِهِ نَاسًا مِنْ عِبَادِهِ فَإِذَا سَمِعْتُمْ بِهِ فَلَا تَدْخُلُوا عَلَيْهِ وَإِذَا وَقَعَ بِأَرْضِ وَأَنْتُمْ بِهَا فَلَا تَفِرُّوا مِنْهُ

Terjemahnya:

Rasulullah shallallahu ‘alaihi wasallam bersabda: “Tha’un (penyakit menular/wabah) adalah suatu peringatan dari Allah Subhanahu Wa Ta’ala untuk menguji hamba-hamba-Nya dari kalangan manusia. Maka apabila kamu mendengar penyakit itu berjangkit di suatu negeri, janganlah kamu masuk ke negeri itu. Dan apabila wabah itu berjangkit di negeri tempat kamu berada, jangan pula kamu lari daripadanya” (HR. Shahih Muslim; Bab Tha’un thiyarah dan perdukunan; No. 4109; Kitab Salam).

Metode pencegahan yang diperintahkan oleh Rasulullah Sallallahu ‘Alaihi Wasallam yaitu dengan melakukan isolasi mandiri (karantina), guna mencegah penularan penyakit/wabah hingga ke negara-negara lain. Rasulullah Sallallahu ‘Alaihi Wasallam mendirikan sebuah tembok di daerah yang terpapar penyakit/wabah lalu menjelaskan kepada mereka bahwa jika ia bersabar dan tetap berdiam dirumah maka ia akan mendapatkan pahala dari Allah Subhanahu Wa Ta’ala sebagai mujahid di jalan Allah. Tapi bila mereka melarikan diri ataupun meninggalkan daerah tersebut maka akan diancam kebinasaan dan malapetaka.

Hadits dan penjelasan tersebut memberikan pedoman bagi seluruh umat Islam dalam menghadapi situasi seperti saat ini *Coronavirus Disease 2019*, dimana kita dilarang untuk memasuki daerah yang terjangkit wabah. Metode pencegahan dengan melakukan karantina yaitu tetap di rumah jika tidak memiliki kebutuhan yang mendesak, menjaga kesehatan, dan juga senantiasa berikhtiar kepada Allah Subhanahu Wa Ta’ala dalam rangka menjaga kemaslahatan bagi keselamatan

bersama. Maka perlunya untuk memohon perlindungan, kesehatan, serta kesembuhan kepada Allah Subhanahu Wa Ta'ala. Sebagaimana firman Allah Subhanahu Wa Ta'ala dalam QS Al-Anbiya /21:83-84

وَأَيُّوبَ إِذْ نَادَى رَبَّهُ أَنِّي مَسَّنِيَ الضُّرُّ وَأَنْتَ أَرْحَمُ الرَّحِيمِينَ ۝
فَاسْتَجَبْنَا لَهُ فَكَشَفْنَا مَا بِهِ مِنْ ضُرٍّ وَأَتَيْنَاهُ أَهْلَهُ وَمِنْهُمُ مَعَهُمْ رَحْمَةً مِّنْ عِنْدِنَا وَذِكْرًا لِلْعَابِدِينَ ۝

Terjemahnya:

83. Dan (ingatlah kisah) Ayyub, ketika dia berdoa kepada Tuhannya, (Ya Tuhanku), sungguh, aku telah ditimpa penyakit, padahal Engkau Tuhan Yang Maha Penyayang dari semua yang penyayang.
84. Maka kami kabulkan doa-nya, lalu Kami lenyapkan penyakit yang ada padanya dan kami kembalikan keluarganya kepadanya, dan kami lipat gandakan jumlah mereka sebagai suatu rahmat dari kami, dan untuk menjadi peringatan bagi semua yang menyembah kami.

Menurut tafsir Ibnu Katsir, ayat tersebut menjelaskan bahwa kisah Ayyub A.S yang mendapatkan ujian musibah terhadap anak, tubuh dan hartanya. Dahulu beliau memiliki binatang ternak, kendaraan dan tanaman yang banyak, dan juga tempat tinggal yang menyenangkan. Namun, semua yang dimiliki oleh beliau diuji dengan musibah dan dilenyapkan seluruhnya. Kemudian cobaan ditimpakan pula kepada tubuh Ayyub A.S yang dimana menurut suatu pendapat, penyakit yang menimpanya merupakan penyakit lepra yang mengeai seluruh tubuhnya, sehingga tidak ada bagian dari anggota tubuhnya yang selamat dari penyakit tersebut, kecuali hati dan lisannya yang senantiasa berdzikir mengingat Allah subhanahu wa ta'ala.

Jumlah individu terkonfirmasi *Covid-19* di Provinsi Sulawesi Barat pada tanggal 30 September 2021 menembus angka 12149, dengan individu isolasi mandiri 238, dan individu meninggal 336. Tingginya jumlah terkonfirmasi *Covid-19* serta pengobatan yang belum ditemukan untuk menyembuhkan penyakit *Covid-*

19, maka dibuatkan model *Covid-19* untuk mengetahui bagaimana proyeksi penyakit *Covid-19* dalam berbagai aspek dan mengetahui bagaimana tindak lanjut untuk meminimalisir penularan penyakit *Covid-19*.

Penelitian terkait model matematika telah banyak dilakukan, di antaranya penelitian yang dilakukan oleh Linda Handayani (2020) dengan menggunakan model SEIR untuk penyebaran *Covid-19*, menyatakan bahwa puncak pandemi *Covid-19* di Indonesia akan terjadi pada pertengahan bulan Mei 2020 dengan 15.000 kasus. Saat individu yang melakukan karantina berkurang, terdapat peningkatan jumlah pasien yang terinfeksi sekitar 2500 orang, sehingga jumlah total orang yang terinfeksi menjadi 17500 orang. Penelitian yang dilakukan oleh Fadilah Ilahi (2021) meneliti tentang Penyakit Hepatitis C pada populasi terinfeksi kronis. Laju penyebaran virus yang tinggi akan memungkinkan bahwa seseorang yang telah terjangkit virus Hepatitis C dapat menjadi semakin parah. Misal ketika awalnya terpapar menjadi akut, lalu akan berubah kronis.

Berdasarkan penelitian tersebut, peneliti akan menggunakan model *SEIR* dalam menentukan model penyebaran penyakit *Covid-19* di Sulawesi Barat berdasarkan karakteristik dari penyakit. Pada penyakit *Covid-19* terdapat masa inkubasi dimana individu yang berkontak dengan terinfeksi belum mempertimbangkan bahwa individu menjadi tertular. Model matematika yang akan diformulasikan yaitu dibagi kedalam 4 kelompok yakni kelompok *Susceptible* yaitu kelompok yang rentan terhadap penyakit, Kelompok *Exposed* yaitu kelompok yang telah memiliki kontak dengan orang yang telah terinfeksi tetapi belum mempertimbangkan bahwa individu itu terinfeksi, Kelompok *Infected* yaitu

kelompok yang telah terinfeksi penyakit, dan kelompok *Recovered* yaitu kelompok yang telah sembuh dari penyakit.

Runge Kutta orde empat merupakan metode numerik yang tidak menggunakan perhitungan turunan dan memiliki tingkat ketelitian yang cukup tinggi dalam menyelesaikan bentuk persamaan diferensial. Umumnya ketelitian solusi metode numerik bergantung pada nilai yang digunakan pada ukuran langkah. Ukuran langkah yang kecil yang digunakan akan memperoleh solusi yang semakin bagus.

Berdasarkan uraian latar belakang tersebut maka penulis tertarik melakukan penelitian dengan judul “Solusi Numerik Model *SEIR* pada Penyebaran Penyakit *Covid-19* di Sulawesi Barat dengan menggunakan Metode Runge-Kutta orde empat”.

B. Rumusan Masalah

Berdasarkan latar belakang yang telah diuraikan, maka permasalahan yang akan dibahas pada penelitian ini adalah sebagai berikut:

1. Bagaimana model *SEIR* pada penyebaran penyakit *Covid-19* di Sulawesi Barat?
2. Bagaimana solusi numerik model *SEIR* pada penyebaran penyakit *Covid-19* di Sulawesi Barat dengan menggunakan metode Runge-Kutta orde empat?

C. Tujuan Penelitian

Berdasarkan uraian permasalahan diatas, maka peneliti memiliki yang ingin dicapai yaitu sebagai berikut:

1. Untuk memperoleh model *SEIR* pada penyebaran penyakit *Covid-19* di Sulawesi Barat.

2. Untuk mengetahui solusi numerik model *SEIR* pada penyebaran penyakit *Covid-19* di Sulawesi Barat dengan menggunakan metode Runge-Kutta orde empat.

D. Manfaat Penelitian

Adapun manfaat yang ingin diperoleh dari penelitian ini adalah sebagai berikut:

1. Bagi Penulis

Diharapkan menambah pemahaman penulis dalam melakukan pemodelan matematika untuk mencari solusi pada penyakit *Covid-19* yang diselesaikan secara numerik.

2. Bagi Jurusan

Menjadi sumber pustakaan Universitas Islam Negeri Alauddin Makassar yang tepatnya pada Jurusan Matematika Fakultas Sains dan Teknologi yang dapat berguna bagi mahasiswa(i) tentang pelajaran Pemodelan Matematika dan Analisis Numerik.

3. Bagi Universitas Islam Negeri Alauddin Makassar

Sebagai sumber pustaka Universitas Islam Negeri Alauddin Makassar tentang matematika sains dan teknologi.

4. Bagi Instansi Pemerintah

Buat bahan saran untuk instansi-instansi yang terkait khususnya Dinas Kesehatan Provinsi Sulawesi Barat dan Satgas Penanganan *Covid-19* Provinsi Sulawesi Barat dalam melaksanakan penanganan lebih dini, guna meminimalisir penyebaran *Covid-19* di Sulawesi Barat.

E. Batasan Masalah

Adapun batasan masalah pada penelitian ini yaitu data yang digunakan merupakan data harian dari bulan Oktober 2020-Oktober 2021

F. Sistematika Penulisan

Adapun pada penelitian ini memiliki sistematika penulisan yaitu sebagai berikut:

BAB I PENDAHULUAN

Dalam bab ini terdiri dari beberapa bagian yaitu latar belakang, rumusan masalah, tujuan penelitian, manfaat penelitian, batasan masalah, dan sistematika penulisan

BAB II TINJAUAN PUSTAKA

Dalam bab ini dibahas tentang penyakit *Covid-19*, vaksinasi *Covid-19*, persamaan diferensial, metode numerik, dan memodelkan penyakit *Covid-19* dengan model *SEIR* yang berbentuk persamaan diferensial.

BAB III METODOLOGI PENELITIAN

Dalam bab ini dibahas mengenai metode yang akan digunakan dimana menyangkut tahapan yang diambil dalam menyelesaikan masalah penelitian berisi jenis penelitian, jenis dan sumber data, lokasi dan waktu penelitian, prosedur penelitian, dan terakhir kerangka berfikir.

BAB II

TINJAUAN PUSTAKA

A. Penyakit *Covid-19*

Covid-19 atau *Coronavirus disease 2019* adalah penyakit menular yang disebabkan oleh virus *Severe Acute Respiratory Syndrome Coronavirus-2* (SARS-CoV-2).³ Virus SARS, MERS dan SARS-CoV-2 adalah virus yang berasal dari famili yang sama. Meskipun virus tersebut berasal dari famili yang sama, namun virus SARS-CoV-2 lebih menular dibandingkan dengan SARS-CoV dan MERS-CoV. Pada tanggal 30 Januari 2020 *World Health Organization* (WHO) menetapkan bahwa *Covid-19* sebagai Kedaruratan Kesehatan Masyarakat yang Meresahkan Dunia (KKMMD) atau *Public Health Emergency of International Concern* (PHEIC) dengan pertimbangan salah satunya yaitu proses penularan virus yang cepat.⁴

Virus yang menyebabkan *Covid-19* menginfeksi orang dari segala usia. Akan tetapi, bukti sampai sekarang memperlihatkan bahwa ada dua kelompok orang yang lebih berisiko terkena penyakit *Covid-19* yang parah. Mereka adalah orang-orang lanjut usia yaitu 60 tahun keatas dan mereka yang memiliki penyakit bawaan (seperti penyakit diabetes, jantung, pernapasan kronis, dan kanker). Risiko penyakit parah secara bertahap meningkat sejak mulai usia sekitar 40 tahun, maka sangat penting bahwa orang dewasa dalam rentang usia ini melindungi diri mereka sendiri

³ *World Health Organization* (WHO). “*Coronavirus*”. Highlight health topics Coronavirus disease (COVID-19). Available: https://www.who.int/health-topics/coronavirus#tab=tab_1

⁴ Direktoratay Jendral Pencegahan dan Pengendalian Penyakit (P2P) Kementerian Kesehatan RI. “Pedoman Pencegahan dan Pengendalian *Coronavirus Disease (Covid-19)*”. Revisi ke-5. Hlm 9-10 Available: <https://infeksiemerging.kemkes.go.id>

dan orang lain yang mungkin lebih rentan. *World Health Organization* (WHO) menekankan bahwa semua orang harus melindungi diri mereka sendiri dari *Covid-19*, yang juga akan melindungi orang lain.⁵

1. Penularan

Tujuan utama adanya persiapan strategis global *Coronavirus Disease 2019* adalah untuk mengontrol *Coronavirus Disease 2019* dengan menekan laju penyebaran virus, mencegah penyakit, dan kematian yang terkait. Adanya bukti saat ini menunjukkan bahwa SARS-CoV-2 merupakan penyebab *Coronavirus Disease 2019*, secara dominan menyebar dari satu orang ke orang lain.

Penyebaran virus penyebab *Covid-19* dapat terjadi melalui kontak langsung, tidak langsung, atau dekat dengan orang yang terkonfirmasi *Covid-19*. Penyebaran melalui cairan yang dikeluarkan orang yang sedang terkonfirmasi *Covid-19* seperti air liur dan titik-titik cairan pernapasan yang dikeluarkan sewaktu terkonfirmasi batuk, bersin, atau bernyanyi. Adapun penularan dengan menyentuh benda-benda yang telah terkontaminasi lalu menyentuh mata, hidung, dan mulut.⁶

(Doremalen, Neeltje Van dkk, 2020) Dalam penelitiannya bahwa virus dapat bertahan di *aerosol* (ukuran partikel <10 mikrometer) selama 3 jam,

⁵ *World Health Organization* (WHO). “*Novel Coronavirus (2019-nCoV)*”. *Situation Reports-51: Coronavirus disease (Covid-19) Weekly Epidemiological Update and Weekly Operational Update*. 11 Maret 2020. Hlm 2. Available: <https://www.who.int/emergencies/diseases/novel-coronavirus-2019/situation-reports>

⁶ *World Health Organization* (WHO). “Transmission of SARS-CoV-2: implications for infection prevention precautions”. 9 Juli 2020. Available: <https://www.who.int/news-room/commentaries/detail/transmission-of-sars-cov-2-implications-for-infection-prevention-precautions>

peneliti membuat lingkungan kondisi *aerosol* sendiri di laboratoriumnya dengan menggunakan alat *three-jet Collison nebulizer*. Penelitian virus di *aerosol* ini diperuntukkan untuk tenaga medis saat penanganan pasien di ruang isolasi *Covid-19*, dimana terdapat prosedur medis yang memungkinkan *aerosol* dapat terbentuk di udara pada ruang isolasi pasien *Covid-19*. Sedangkan di permukaan benda seperti pada tembaga bertahan selama 4 jam, pada cardboard bertahan selama 24 jam, pada *stainless steel* bertahan selama selama, dan pada plastik bertahan hingga 72 jam⁷

2. Klasifikasi kasus *Covid-19* di Indonesia

Klasifikasi kasus di Indonesia didasarkan oleh panduan tata laksana pneumonia *Covid-19* Kementerian Kesehatan Republik Indonesia (Kemenkes RI). Berikut klasifikasi berdasarkan buku pedoman pencegahan dan pengendalian *Covid-19* per 27 Maret 2020:

a. Kasus Suspek

- 1) Orang dengan salah satu indikasi/ciri ISPA serta pada 14 hari terakhir saat sebelum mencuat indikasi mempunyai riwayat kontak dengan orang yang terkonfirmasi/probable *Covid-19*.
- 2) Orang dengan Peradangan Saluran Respirasi Kronis (ISPA) serta pada 14 hari terakhir saat munculnya indikasi mempunyai suatu riwayat ekspedisi ataupun tinggal di negeri/daerah Indonesia yang memberi tahu transmisi lokal

⁷ Neeltje Van Doremalen, dkk. "Aerosol dan Surface Stability of SARS-CoV—2 as Compared with SARS-CoV-1". *The New England Journal of Medicine*. 2020.

3) Orang dengan pneumonia/ISPA berat yang memerlukan perawatan di rumah sakit serta tidak terdapat pemicu lain yang bersumber pada cerminan klinis yang meyakinkan.

b. Kasus *Probable*

Permasalahan suspek dengan ISPA Berat/ARDS/wafat dengan cerminan klinis yang meyakinkan *Covid-19* serta belum terdapat hasil pengecekan laboratorium RT-PCR.

c. Orang Konfirmasi

Seseorang yang telah dinyatakan positif terinfeksi *Coronavirus disease 2019* yang dibuktikan dengan pengecekan laboratorium RT-PCR. Dimana kasus konfirmasi terbagi menjadi 2 yaitu Kasus konfirmasi dengan gejala (*Simptomatik*) dan kasus konfirmasi tanpa gejala (*asimptomatik*).

d. Kontak Erat

Seorang yang dinyatakan positif terinfeksi *Covid-19* yang dibuktikan dengan pengecekan laboratorium RT-PCR.

1) Sentuhan raga langsung dengan permasalahan probable ataupun permasalahan konfirmasi (berpegangan tangan, semacam bersalaman, serta lain-lain)

2) Kontak tatap muka/bersebelahan dengan permasalahan probable ataupun permasalahan konfirmasi dalam radius 1 m serta dalam jangka waktu 15 menit ataupun lebih.

- 3) Orang yang memberikan perawatan langsung terhadap permasalahan probable ataupun konfirmasi tanpa memakai APD yang cocok dengan standar.
 - 4) Suasana yang lain yang mengindikasikan terdapatnya kontak bersumber pada evaluasi resiko lokal yang diresmikan oleh regu penyelidikan epidemiologi setempat.
- e. Pelaku perjalanan
- Seorang yang melaksanakan ekspedisi dari dalam negara (dalam negeri) ataupun luar negara pada 14 hari terakhir.
- f. *Discarded*
- Discarded* apabilaenuhi salah satu kriteria sebagai berikut:
- 1) Seorang dengan status permasalahan suspek dengan hasil pengecekan RT-PCR 2 kali negatif sepanjang 2 hari berturut-turut dengan selang waktu 24 jam.
 - 2) Seorang dengan status kontak erat yang sudah menuntaskan masa karantina sepanjang 14 hari
- g. Selesai Isolasi
- Berakhirnya isolasi apabilaenuhi salah satu kriteria sebagai berikut:
- 1) Permasalahan konfirmasi/ permasalahan probable dengan indikasi (simptomatik) yang memperoleh hasil pengecekan *follow up* RT-PCR 1 kali negatif, dengan ditambah minimum 3 hari sehabis tidak lagi menampilkan indikasi demam serta kendala respirasi.

- 2) Permasalahan konfirmasi/permasalahan probable dengan indikasi (simptomatik) yang tidak dicoba pengecekan *follow up* RT-PCR dihitung 10 hari semenjak bertepatan pada onset dengan ditambah minimum 3 hari sehabis tidak lagi menampilkan indikasi demam serta kendala respirasi.
- 3) Permasalahan konfirmasi tanpa indikasi (asimptomatik) yang tidak dicoba pengecekan *follow up* RT-PCR dengan ditambah 10 hari karantina mandiri semenjak pengambilan spesimen penaksiran konfirmasi.

h. Kematian

Kematian *Covid-19* buat kepentingan surveilans merupakan permasalahan probable/permasalahan konfirmasi *Covid-19* yang wafat.⁸

B. Vaksinasi *Covid-19*

Vaksin adalah sebuah penawar yang diberikan untuk mencegah seseorang dari suatu penyakit. Vaksin menciptakan antibodi di dalam tubuh, dimana fungsi antibodi untuk menjaga tubuh dari penyakit.⁹ Vaksin akan merangsang sistem kekebalan tubuh untuk memproduksi antibodi, agar tubuh dapat mengenali virus atau bakteri baru yang sebelumnya belum dikenali oleh tubuh.

Vaksinasi *Covid-19* bertujuan buat mengurangi penularan *Covid-19*, merendahkan angka kesakitan serta kematian yang disebabkan oleh *Covid-19*,

⁸ Direktorat Jendral Pencegahan dan Pengendalian Penyakit (P2P) Kementerian Kesehatan RI. "Pedoman Pencegahan dan Pengendalian *Coronavirus Disease (Covid-19)*". Revisi ke-5. Available: <https://infeksiemerging.kemkes.go.id>

⁹ Diaz Virdani, dkk. "Impelentasi kenijakan vaksinasi *Covid-19* di Kota Surabaya". Jurnal Publicuho. Vol. 4 No. 2. 2021.

menggapai imunitas komunitas di warga (*herd immunity*) serta melindungi warga dari *Covid-19* supaya *mobilitas* sosial serta ekonomi berjalan dengan produktif. Imunitas kelompok bisa tercipta apabila cakupan vaksinasi besar serta menyeluruh di segala daerah. Upaya penangkalan lewat program vaksinasi bila dilihat dari sisi ekonomi, hendak jauh lebih hemat bayaran, apabila dibandingkan dengan melaksanakan pengobatan.¹⁰

C. Persamaan Diferensial

Menurut (Kartono, 2012) persamaan diferensial adalah sebuah persamaan yang mengandung sebuah fungsi yang tak diketahui dan derivatif-derivatifnya.¹¹

Pada persamaan diferensial dibagi menjadi dua bentuk persamaan yaitu Persamaan Diferensial Biasa (PDB) dan Persamaan Diferensial Parsial (PDP). Berikut penjelasan dari persamaan diferensial biasa dan persamaan diferensial parsial.

1. Persamaan Diferensial Biasa (PDB) yaitu suatu persamaan diferensial yang hanya melibatkan perubahan satu variabel bebas/ satu peubah bebas.

Contoh:

$$\frac{dy(x)}{dx} + 2y = 2x^3 \quad (\text{PDB Orde Satu})$$

$$\frac{d^2y(x)}{dx^2} + 4\frac{dy(x)}{dx} + xy = 4x \quad (\text{PDB Orde Dua})$$

¹⁰ Direktorat Jendral Pencegahan dan Pengendalian Penyakit (P2P) Kementerian Kesehatan RI. "Petunjuk Teknis Pelaksanaan Vaksinasi dalam Rangka Penanggulangan Pandemi *Coronavirus Disease 2019 (Covid-19)*". 4 Januari 2021. Available: <https://covid19.go.id/storage/app/media/Regulasi/2021/Januari/Final%20SK%20Dirjen%20Juknis%20Vaksinasi%20COVID-19%2002022021.pdf>

¹¹ Kartono. "Persamaan Diferensial Biasa". (Yogyakarta: Graha Ilmu). 2012. Hlm 2

2. Persamaan Diferensial Parsial (PDP) yaitu suatu persamaan diferensial yang melibatkan perubahan lebih dari satu variabel bebas.

$$\frac{\partial z(x, y)}{\partial x} + 3 \frac{\partial z(x, y)}{\partial y} = z \quad (\text{PDP Orde Satu})$$

$$\frac{\partial^2 v(x, y, z)}{\partial x^2} - \frac{\partial^2 v(x, y, z)}{\partial y^2} - \frac{\partial^2 v(x, y, z)}{\partial z^2} = 0 \quad (\text{PDP Orde Dua})$$

D. Metode Numerik

Menurut (Bambang Triatmodjo, 2002) Metode numerik ialah metode buat menuntaskan kasus yang dirumuskan secara matematis dengan metode operasi hitungan (*arithmetic*). Tata cara numerik salah satu dari wujud proses hitungan yang sangat efektif yang membutuhkan waktu hitungan paling cepat. Tata cara numerik sanggup menuntaskan sesuatu sistem persamaan yang besar, tidak linear, serta sangat kompleks yang tidak bisa dituntaskan secara analitis.¹²

Penyelesaian perkara matematika yang susah dituntaskan ataupun tidak bisa dituntaskan secara analitik, hendak dikatakan kalau perkara tersebut tidak mempunyai solusi analitik. Metode numerik ini sebagai alternatif dari perkara matematik yang tidak mempunyai pemecahan analitik. Perbandingan antara metode numerik serta metode analitik adalah metode numerik bisa digunakan buat menuntaskan permasalahan yang sangat kompleks serta linear. Sebaliknya metode analitik cuman digunakan buat menuntaskan perkara yang simpel serta menciptakan solusi sesungguhnya ataupun solusi sejati.

¹² Bambang Triatmodjo. *Metode Numerik*. (Yogyakarta: Beta Offset). 2002 hlm. 1&2.

E. Metode Runge-Kutta

Metode Runge-Kutta ialah metode yang memberikan ketelitian hasil yang lebih besar serta tidak membutuhkan turunan dari fungsi. Bentuk dari metode Runge-Kutta adalah:

$$y_{1+i} = y_i + \phi(x_i, y_i, \Delta x)\Delta x \quad (2.1)$$

Dengan $\phi(x_i, y_i, \Delta x)$ adalah fungsi pertambahan yang merupakan kemiringan rerata pada interval, yang ditulis sebagai berikut:

$$\phi = a_1k_1 + a_2k_2 + \dots + a_nk_n \quad (2.2)$$

dengan a adalah konstanta dan k adalah:

$$k_1 = f(x_i, y_i) \quad (2.3)$$

$$k_2 = f(x_i + p_1\Delta x, y_i + q_{11}k_1\Delta x) \quad (2.4)$$

$$k_3 = f(x_i + p_2\Delta x, y_i + q_{21}k_1\Delta x + q_{22}k_2\Delta x) \quad (2.5)$$

.

.

.

$$k_n = f(x_i + p_{n-1}\Delta x, y_i + q_{n-1,1}k_1\Delta x + q_{n-1,2}k_2\Delta x + \dots + q_{n-1,n-1}k_{n-1}\Delta x) \quad (2.6)$$

Keterangan:

y_i : Nilai sebelumnya

y_{i+1} : Nilai selanjutnya dengan ukuran langkah Δx

Δx : Ukuran langkah

$\phi(x_i, y_i, \Delta x)$: Fungsi inkremen yang dapat diinterpretasikan sebagai suatu kemiringan rerata pada interval

a, p dan q : Konstanta

Untuk $n = 1$, yang disebut metode Runge-Kutta orde satu, Persamaan (2.2)

jadi:

$$\phi = a_1 k_1 = a_1 f(x_i, y_i) \quad (2.7)$$

untuk $a_1 = 1$ maka persamaan (2.1) menjadi:

$$y_{i+1} = y_i + f(x_i, y_i) \Delta x \quad (2.8)$$

Yang sama dengan metode Euler.

Setelah n ditetapkan didalam metode Runge-Kutta, berikutnya nilai a, p serta q dicari dengan menyamakan persamaan (2.1) dengan suku dari deret Taylor.

1. Metode Runge-Kutta Orde Dua

Metode Runge-Kutta orde dua mempunyai bentuk persamaan sebagaimana pada Persamaan (2.9).

$$y_{i+1} = y_i + (k_1 + k_2) \Delta x \quad (2.9)$$

Dengan:

$$k_1 = f(x_i, y_i) \quad (2.10)$$

$$k_2 = f(x_i + \Delta x, y_i + k_1 \Delta x) \quad (2.11)$$

Keterangan:

y_i : Nilai sebelumnya

y_{i+1} : Nilai selanjutnya dengan ukuran langkah Δx

Δx : Ukuran langkah

2. Metode Runge-Kutta Orde Tiga

Metode Runge-Kutta orde tiga dapat diturunkan dengan metode yang sama dengan orde dua dimana nilai $n = 3$. Metode Runge-Kutta orde tiga mempunyai bentuk pada persamaan (2.12):

$$y_{i+1} = y_i + \frac{1}{6}(k_1 + 4k_2 + k_3)\Delta x \quad (2.12.a)$$

Dengan:

$$k_1 = f(x_i, y_i) \quad (2.12.b)$$

$$k_2 = f(x_i + \frac{1}{2}\Delta x, y_i + \frac{1}{2}\Delta x k_1) \quad (2.12.c)$$

$$k_3 = f(x_i + \Delta x, y_i - \Delta x k_1 + 2\Delta x k_2) \quad (2.12.d)$$

Keterangan:

y_i : Nilai sebelumnya

y_{i+1} : Nilai selanjutnya dengan ukuran langkah Δx

Δx : Ukuran langkah

3. Metode Runge-Kutta Orde Empat

Metode Runge-Kutta orde empat ialah metode yang sangat teliti dibanding dengan orde dua serta orde tiga. Oleh sebab itu, metode Runge-Kutta orde empat kerap digunakan buat menuntaskan suatu persamaan diferensial. Metode Runge-Kutta orde empat diturunkan dengan cara yang semacam seperti metode Runge-Kutta orde dua untuk nilai $n = 4$. Metode Runge-Kutta orde empat memiliki bentuk sebagai berikut:

$$y_{i+1} = y_i + \frac{1}{6}(k_1 + 2k_2 + 2k_3 + k_4)\Delta x \quad (2.13.a)$$

dengan:

$$k_1 = f(x_i, y_i) \quad (2.13.b)$$

$$k_2 = f\left(x_i + \frac{1}{2}\Delta x, y_i + \frac{1}{2}\Delta x k_1\right) \quad (2.13.c)$$

$$k_3 = f\left(x_i + \frac{1}{2}\Delta x, y_i + \frac{1}{2}\Delta x k_2\right) \quad (2.13.d)$$

$$k_4 = f(x_i + \Delta x, y_i + \Delta x k_3) \quad (2.13.e)$$

Keterangan:

y_i : Nilai sebelumnya

y_{i+1} : Nilai selanjutnya dengan ukuran langkah Δx

Δx : Ukuran langkah

Metode Runge-Kutta orde empat ini memiliki tingkatan ketelitian pemecahan yang lebih besar dari pada metode Runge-Kutta orde satu, dua, dan tiga. Selain itu Metode Runge-Kutta orde empat juga gampang diprogram, stabil, kecil kesalahan pemotongan, sertakecil kesalahan pembulatan.¹³

F. Kekonvergenan Metode Runge-Kutta Orde Empat

Pada metode numerik yang baik diharuskan untuk memenuhi tiga karakteristik atau sifat yaitu konvergensi, konsistensi, dan kestabilan. Metode Runge-Kutta Orde Empat menghasilkan penyelesaian yang lebih akurat yang ditandai dengan kekonvergenan pada metode yang memenuhi syarat konsisten dan stabil. Menurut (C. Emmanuel Eziokwu dkk, 2020) pada analisis konvergen dari metode Runge-Kutta, bahwa metode Runge-Kutta Orde Empat merupakan metode yang efisien dalam menyelesaikan persamaan diferensial biasa dan memiliki hasil *error* terkecil diantara metode yang lain (hasil solusi mendekati dengan nilai eksak).

¹³ Bambang Triatmodjo. *Metode Numerik*. (Yogyakarta: Beta Offset, 2002) hlm. 182-192

Teorema 2.1: Umum pada tingkat metode Runge-Kutta

$y_{n+1} = y_n + h\phi(x_n, y_n, h)$ dengan $\phi(x_n, y_n, h) = \sum_{i=1}^n b_i k_i$ adalah konvergen jika dan hanya jika stabil dan konsisten.

G. Solusi Masalah Nilai Awal dengan Metode Runge-Kutta orde empat

Bentuk umum persamaan Metode Runge-Kutta orde empat yaitu sebagai berikut:

$$y_{i+1} = y_i + (a_1 k_1 + a_2 k_2 + a_3 k_3 + a_4 k_4) \Delta x ; i = 0, 1, 2, \dots, n \quad (2.14)$$

dimana:

$$k_1 = f(x_i, y_i)$$

$$k_2 = f(x_i + p_1 \Delta x, y_i + q_{11} \Delta x k_1)$$

$$k_3 = f(x_i + p_2 \Delta x, y_i + q_{21} \Delta x k_1 + q_{22} \Delta x k_2)$$

$$k_4 = f(x_i + p_3 \Delta x, y_i + q_{31} \Delta x k_1 + q_{32} \Delta x k_2 + q_{33} \Delta x k_3)$$

Keterangan:

y_i : Nilai sebelumnya

y_{i+1} : Nilai selanjutnya dengan ukuran langkah Δx

Δx : Ukuran langkah

a, p dan q : Konstanta

Selanjutnya persamaan (2.14) disamakan dengan deret Taylor orde dua sehingga diperoleh persamaan sebagai berikut

$$y_{i+1} = y_i + f(x_i, y_i) \Delta x + \frac{\Delta x^2}{2} f'(x_i, y_i) + \frac{\Delta x^3}{6} f''(x_i, y_i) + \frac{\Delta x^4}{24} f'''(x_i, y_i) \quad (2.15)$$

Jika f merupakan fungsi sembarangan, maka dapat diperoleh sebagai berikut:

$$f'(x_i, y_i) = \frac{\partial f}{\partial x} + \frac{\partial f}{\partial y} \frac{dy}{dx}$$

$$f''(x_i, y_i) = \frac{\partial^2 f}{\partial x^2} + 2 \frac{\partial^2 f}{\partial x \partial y} \frac{\partial y}{\partial x} + \frac{\partial^2 f}{\partial y^2} \left(\frac{dy}{dx}\right)^2$$

$$\begin{aligned} f'''(x_i, y_i) &= \frac{\partial}{\partial x} \left[\frac{\partial^2 f}{\partial x \partial y} \frac{\partial y}{\partial x} + \frac{\partial^2 f}{\partial y^2} \left(\frac{dy}{dx}\right)^2 \right] + \frac{\partial}{\partial y} \left[\frac{\partial^2 f}{\partial x \partial y} \frac{\partial y}{\partial x} + \frac{\partial^2 f}{\partial y^2} \left(\frac{dy}{dx}\right)^2 \right] \left(\frac{dy}{dx}\right) \\ &= \frac{\partial^2 f}{\partial x^3} + 3 \frac{\partial^3 f}{\partial x^2 \partial y} \frac{\partial y}{\partial x} + 3 \frac{\partial^3 f}{\partial x \partial y^2} + \frac{\partial^3 f}{\partial y^3} \left(\frac{dy}{dx}\right)^3 \end{aligned}$$

Keterangan:

y_i : Nilai sebelumnya

y_{i+1} : Nilai selanjutnya dengan ukuran langkah Δx

Δx : Ukuran langkah

$f(x_i, y_i)$: Fungsi di titik x_i dan y_i

f', f'', f^n : Turunan pertama, kedua, ke n dari fungsi

Dengan mensubstitusi nilai f', f'' , dan f''' ke persamaan deret Taylor orde dua maka diperoleh persamaan sebagai berikut:

$$y_{i+1} = y_i + f(x_i, y_i)\Delta x + \frac{\Delta x^2}{2} f'(x_i, y_i) + \frac{\Delta x^3}{6} f''(x_i, y_i) + \frac{\Delta x^4}{24} f'''(x_i, y_i)$$

$$\begin{aligned} y_{i+1} &= y_i + f(x_i, y_i)\Delta x + \frac{\Delta x^2}{2} \left(\frac{\partial f}{\partial x} + \frac{\partial f}{\partial y} \frac{dy}{dx} \right) + \frac{\Delta x^3}{6} \left(\frac{\partial^2 f}{\partial x^2} + 2 \frac{\partial^2 f}{\partial x \partial y} \frac{\partial y}{\partial x} + \frac{\partial^2 f}{\partial y^2} \left(\frac{dy}{dx}\right)^2 \right) + \\ &\quad \frac{\Delta x^4}{24} \left(\frac{\partial^2 f}{\partial x^3} + 3 \frac{\partial^3 f}{\partial x^2 \partial y} \frac{\partial y}{\partial x} + 3 \frac{\partial^3 f}{\partial x \partial y^2} + \frac{\partial^3 f}{\partial y^3} \left(\frac{dy}{dx}\right)^3 \right) \end{aligned} \quad (2.16)$$

selanjutnya mencari nilai $a_1, a_2, a_3, a_4, a_5, p_1, p_2, p_3, q_{11}, q_{21}, q_{22}, q_{31}, q_{32}, q_{33}$ untuk menyamakan persamaan (2.14) dengan deret Taylor pada k_2, k_3 dan k_4 dimana:

$$k_2 = f(x_i, y_i) + p_1 \Delta x \frac{\delta f}{\delta x} + q_{11} \Delta x f(x_i, y_i) \frac{\delta f}{\delta y}$$

$$\begin{aligned}
k_3 &= f(x_i, y_i) + p_2 \Delta x \frac{\partial f}{\partial x} + q_{21} \Delta x f(x_i, y_i) \frac{\partial f}{\partial y} + q_{22} \Delta x f(x_i, y_i) \frac{\partial f}{\partial y} + \\
& p_1 q_{22} \Delta x^2 \frac{\partial^2 f}{\partial x \partial y} + q_{11} q_{22} \Delta x^2 f(x_i, y_i) \frac{\partial^2 f}{\partial y^2} \\
k_4 &= f(x_i, y_i) + p_3 \Delta x \frac{\partial f}{\partial x} + q_{31} \Delta x (f(x_i, y_i)) \frac{\partial f}{\partial y} + q_{32} k_2 \Delta x \frac{\partial f}{\partial y} + q_{33} k_3 \Delta x \frac{\partial f}{\partial y} \\
&= f(x_i, y_i) + p_3 \Delta x \frac{\partial f}{\partial x} + q_{31} k_1 \Delta x \frac{\partial f}{\partial y} + q_{32} \Delta x \frac{\partial f}{\partial y} (f(x_i, y_i) + p_1 \Delta x \frac{\delta f}{\delta x} + \\
& q_{11} \Delta x f(x_i, y_i) \frac{\delta f}{\delta y}) + q_{33} \Delta x \frac{\partial f}{\partial y} (f(x_i, y_i) + p_2 \Delta x \frac{\partial f}{\partial x} + \\
& q_{21} \Delta x f(x_i, y_i) \frac{\partial f}{\partial y} + q_{22} \Delta x f(x_i, y_i) \frac{\partial f}{\partial y} + p_1 q_{22} \Delta x^2 \frac{\partial^2 f}{\partial x \partial y} + \\
& q_{11} q_{22} \Delta x^2 f(x_i, y_i) \frac{\partial^2 f}{\partial y^2}) \\
&= f(x_i, y_i) + p_3 \Delta x \frac{\partial f}{\partial x} + q_{31} k_1 \Delta x \frac{\partial f}{\partial y} + q_{32} \Delta x f(x_i, y_i) \frac{\partial f}{\partial y} + \\
& p_1 q_{32} \Delta x^2 \frac{\partial^2 f}{\partial x \partial y} + q_{11} q_{32} \Delta x^2 f(x_i, y_i) \frac{\partial^2 f}{\partial y^2} + f(x_i, y_i) + p_2 \Delta x \frac{\partial f}{\partial x} + \\
& q_{21} \Delta x f(x_i, y_i) \frac{\partial f}{\partial y} + q_{22} \Delta x f(x_i, y_i) \frac{\partial f}{\partial y} + p_1 q_{22} \Delta x^2 \frac{\partial^2 f}{\partial x \partial y} + \\
& q_{11} q_{22} \Delta x^2 f(x_i, y_i) \frac{\partial^2 f}{\partial y^2} + q_{33} \Delta x f(x_i, y_i) \frac{\partial f}{\partial y} + p_2 q_{33} \Delta x^2 \frac{\partial^2 f}{\partial x \partial y} + \\
& q_{21} q_{33} \Delta x^2 f(x_i, y_i) \frac{\partial^2 f}{\partial y^2} + q_{22} q_{33} \Delta x^2 f(x_i, y_i) \frac{\partial^2 f}{\partial y^2} + p_1 q_{22} \Delta x^3 \frac{\partial^3 f}{\partial x \partial y} + \\
& q_{11} q_{22} q_{33} \Delta x^3 f(x_i, y_i) \frac{\partial^3 f}{\partial y^3}
\end{aligned}$$

Substitusi nilai k_1, k_2, k_3 dan k_4 pada persamaan (2.9) sehingga diperoleh persamaan sebagai berikut:

$$\begin{aligned}
y_{i+1} &= y_i + \left[a_1 f(x_i, y_i) + a_2 \left(f(x_i, y_i) + p_1 \Delta x \frac{\delta f}{\delta x} + q_{11} \Delta x f(x_i, y_i) \frac{\delta f}{\delta y} \right) + \right. \\
& a_3 \left(f(x_i, y_i) + p_2 \Delta x \frac{\partial f}{\partial x} + q_{21} \Delta x f(x_i, y_i) \frac{\partial f}{\partial y} + q_{22} \Delta x f(x_i, y_i) \frac{\partial f}{\partial y} + \right. \\
& \left. \left. p_1 q_{22} \Delta x^2 \frac{\partial^2 f}{\partial x \partial y} + q_{11} q_{22} \Delta x^2 f(x_i, y_i) \frac{\partial^2 f}{\partial y^2} \right) + a_4 \left(f(x_i, y_i) + p_3 \Delta x \frac{\partial f}{\partial x} + \right.
\end{aligned}$$

$$\begin{aligned}
& q_{31}k_1\Delta x \frac{\partial f}{\partial y} + q_{32}\Delta x f(x_i, y_i) \frac{\partial f}{\partial y} + p_1q_{32}\Delta x^2 \frac{\partial^2 f}{\partial x\partial y} + \\
& q_{11}q_{32}\Delta x^2 f(x_i, y_i) \frac{\partial^2 f}{\partial y^2} + q_{33} \Delta x f(x_i, y_i) \frac{\partial f}{\partial y} + p_2 q_{33}\Delta x^2 \frac{\partial^2 f}{\partial x\partial y} + \\
& q_{21} q_{33}\Delta x^2 f(x_i, y_i) \frac{\partial^2 f}{\partial y^2} + q_{22}q_{33}\Delta x^2 f(x_i, y_i) \frac{\partial^2 f}{\partial y^2} + p_1q_{22}q_{33} \Delta x^3 \frac{\partial^3 f}{\partial x\partial y} + \\
& q_{11}q_{22}q_{33}\Delta x^3 f(x_i, y_i) \frac{\partial^3 f}{\partial y^3} \Big] \Delta x \\
y_{i+1} = & y_i + a_1\Delta x f(x_i, y_i) + a_2\Delta x f(x_i, y_i) + a_2p_1\Delta x^2 \frac{\delta f}{\delta x} + a_2 q_{11} \\
& \Delta x^2 f(x_i, y_i) \frac{\delta f}{\delta y} + a_3\Delta x f(x_i, y_i) + a_3p_2\Delta x^2 \frac{\partial f}{\partial x} + a_3q_{21}\Delta x^2 f(x_i, y_i) \frac{\partial f}{\partial y} + \\
& a_3q_{22}\Delta x^2 f(x_i, y_i) \frac{\partial f}{\partial y} + a_3p_1q_{22} \Delta x^3 \frac{\partial^2 f}{\partial x\partial y} + a_3q_{11}q_{22}\Delta x^3 f(x_i, y_i) \frac{\partial^2 f}{\partial y^2} + \\
& a_4\Delta x f(x_i, y_i) + a_4p_3\Delta x^2 \frac{\partial f}{\partial x} + a_4q_{31}\Delta x^2 f(x_i, y_i) \frac{\partial f}{\partial y} + \\
& a_4q_{32}\Delta x^2 f(x_i, y_i) \frac{\partial f}{\partial y} + a_4p_1q_{32}\Delta x^3 \frac{\partial^2 f}{\partial x\partial y} + a_4q_{11}q_{32}\Delta x^3 f(x_i, y_i) \frac{\partial^2 f}{\partial y^2} + \\
& a_4q_{33} \Delta x^2 f(x_i, y_i) \frac{\partial f}{\partial y} + a_4p_2 q_{33}\Delta x^3 \frac{\partial^2 f}{\partial x\partial y} + a_4 q_{21} q_{33}\Delta x^3 f(x_i, y_i) \frac{\partial^2 f}{\partial y^2} + \\
& a_4q_{22}q_{33}\Delta x^3 f(x_i, y_i) \frac{\partial^2 f}{\partial y^2} + a_4p_1q_{22}q_{33} \Delta x^4 \frac{\partial^3 f}{\partial x\partial y} + \\
& a_4q_{11}q_{22}q_{33}\Delta x^4 f(x_i, y_i) \frac{\partial^3 f}{\partial y^3} \\
y_{i+1} = & y_i + [a_1f(x_i, y_i) + a_2\Delta x f(x_i, y_i) + a_3f(x_i, y_i) + a_4f(x_i, y_i)]\Delta x \\
& + \left[a_2p_1 \frac{\delta f}{\delta x} + a_2 q_{11} f(x_i, y_i) \frac{\delta f}{\delta y} + a_3p_2 \frac{\partial f}{\partial x} + a_3q_{21} f(x_i, y_i) \frac{\partial f}{\partial y} + \right. \\
& a_3q_{22}f(x_i, y_i) \frac{\partial f}{\partial y} + a_4p_3 \frac{\partial f}{\partial x} + a_4q_{31}f(x_i, y_i) \frac{\partial f}{\partial y} + a_4q_{32}f(x_i, y_i) \frac{\partial f}{\partial y} + \\
& \left. a_4q_{33} f(x_i, y_i) \frac{\partial f}{\partial y} \right] \Delta x^2 + \left[a_3p_1q_{22} \frac{\partial^2 f}{\partial x\partial y} + a_3q_{11}q_{22}f(x_i, y_i) \frac{\partial^2 f}{\partial y^2} + \right. \\
& \left. a_4p_1q_{32} \frac{\partial^2 f}{\partial x\partial y} + a_4q_{11}q_{32}f(x_i, y_i) \frac{\partial^2 f}{\partial y^2} + a_4p_2 q_{33} \frac{\partial^2 f}{\partial x\partial y} + \right.
\end{aligned}$$

$$\begin{aligned}
& a_4 q_{21} q_{33} f(x_i, y_i) \frac{\partial^2 f}{\partial y^2} + a_4 q_{22} q_{33} f(x_i, y_i) \frac{\partial^2 f}{\partial y^2} \Delta x^3 + \\
& \left[a_4 p_1 q_{22} q_{33} \frac{\partial^3 f}{\partial x \partial y} + a_4 q_{11} q_{22} q_{33} f(x_i, y_i) \frac{\partial^3 f}{\partial y^3} \right] \Delta x^4 \quad (2.17)
\end{aligned}$$

Berdasarkan perbandingan persamaan (2.16) dan persamaan (2.17) maka di peroleh:

$$a_1 + a_2 + a_3 + a_4 = 1$$

$$a_2 p_1 + a_3 p_2 + a_4 p_3 = \frac{1}{2}$$

$$a_2 q_{11} + a_3 q_{21} + a_4 q_{22} + a_4 q_{31} + a_4 q_{32} + a_4 q_{33} = \frac{1}{2}$$

$$a_3 p_1 q_{22} + a_4 p_1 q_{32} + a_4 p_2 = \frac{1}{2}$$

$$a_4 q_{21} q_{33} = \frac{1}{6}$$

$$a_3 q_{11} q_{22} + a_4 q_{11} q_{32} + a_4 q_{22} q_{33} = \frac{1}{6}$$

$$a_4 p_1 q_{22} q_{33} = \frac{1}{24}$$

$$a_4 q_{11} q_{22} q_{33} = \frac{1}{24}$$

Adapun Hasil yang diperoleh terdapat solusi tak hingga banyaknya, sehingga metode Runge-Kutta orde empat yang dipakai untuk $i=0,1,2,3,\dots,n$ adalah sebagai berikut:

$$y_{1+i} = y_i + \frac{1}{6}(k_1 + 2k_2 + 2k_3 + k_4)\Delta x \quad (2.17)$$

Dimana:

$$k_1 = f(x_i, y_i)$$

$$k_2 = f\left(x_i + \frac{1}{2}\Delta x, y_i + \frac{1}{2}k_1\Delta x\right)$$

$$k_3 = f\left(x_i + \frac{1}{2}\Delta x, y_i + \frac{1}{2}k_2\Delta x\right)$$

$$k_4 = f(x_i + \Delta x, y_i + k_3\Delta x)^{14}$$

Keterangan:

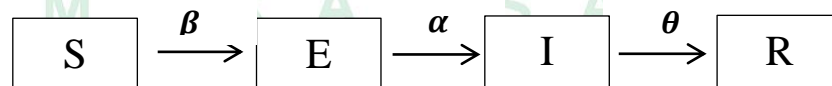
y_i : Nilai sebelumnya

y_{i+1} : Nilai selanjutnya dengan ukuran langkah Δx

Δx : Ukuran langkah

H. Model SEIR (Susceptible Exposed Infected Recovered)

Model SEIR digunakan untuk penyakit yang memiliki masa inkubasi. Pada model SEIR terbagi menjadi 4 populasi yaitu populasi *Susceptible* yaitu populasi yang rentan terhadap penyakit yang disimbolkan dengan simbol S, populasi *Exposed* yaitu populasi individu yang telah memiliki kontak dengan orang yang telah terinfeksi tetapi belum mempertimbangkan bahwa individu itu terinfeksi yang disimbolkan dengan symbol E, populasi *Infected* yaitu populasi manusia yang telah terinfeksi penyakit dan dapat menularkan ke individu lain yang disimbolkan dengan symbol I, dan populasi *Recovered* yaitu populasi yang telah sembuh dari penyakit yang disimbolkan dengan simbol R.



Gambar 2.1 Diagram secara umum model SEIR

¹⁴ Imam Satriyah Sair. “Solusi Numerik Model Penyebaran Pada Penyakit Hepatitis B di Provinsi Sulawesi Selatan Menggunakan Metode Runge-Kutta Orde Empat”. (Makassar: Universitas Negeri Makassar. 2018). h. 15-19

Berikut bentuk persamaan diferensial dari formulasi model *SEIR* tanpa adanya parameter kelahiran dan kematian adalah sebagai berikut:

$$\frac{dS}{dt} = -\beta SI$$

$$\frac{dE}{dt} = \beta SI - \alpha E$$

$$\frac{dI}{dt} = \alpha E - \theta R$$

$$\frac{dR}{dt} = \theta R$$

Keterangan:

S = Jumlah individu yang rentan

E = Jumlah individu terekspose

I = Jumlah individu terinfeksi

R = Jumlah individu yang telah sembuh

β = Laju kontak individu *Susceptible* dengan individu *Infected*

α = Laju individu *ekspose* menjadi individu *infected*

θ = Laju individu yang terinfeksi menjadi individu sembuh

Dari gambar alur penyebaran pada gambar (2.1) yaitu populasi *susceptible* berkurang karena adanya laju individu bergejala yang disebabkan kontak langsung dengan individu terinfeksi βI . Populasi *exposed* meningkat yang disebabkan oleh tingkat individu bergejala yang disebabkan kontak langsung dengan individu terinfeksi βI dan berkurang karena adanya laju individu terekspose menjadi individu terinfeksi αE . Populasi *infected* meningkat yang disebabkan oleh individu

terekspose menjadi individu terinfeksi αE , berkurang karena adanya individu terinfeksi menjadi individu sembuh θI . Populasi *recovered* meningkat yang disebabkan oleh individu terinfeksi menjadi individu sembuh θI .



BAB III

METODOLOGI PENELITIAN

A. Jenis Penelitian

Penelitian ini berjenis penelitian terapan atau kajian teori.

B. Jenis dan Sumber Data

Pada penelitian ini, peneliti memakai data sekunder. Data penelitian yang diambil merupakan data yang berasal dari Dinas Kesehatan (Dinkes) Provinsi Sulawesi Barat serta Badan Pusat Statistik (BPS) Provinsi Sulawesi Barat.

C. Waktu Penelitian

Pelaksanaan penelitian dilakukan pada bulan Mei 2021-Juni 2022

D. Variabel dan Definisi Operasional Variabel

Adapun variable yang digunakan dalam penelitian ini adalah sebagai berikut:

S = Jumlah individu yang rentan terhadap penyakit *Covid-19*

E = Jumlah individu yang terekspose penyakit

I = Jumlah individu terinfeksi penyakit *Covid-19*

R = Jumlah individu yang telah sembuh penyakit *Covid-19*

Definisi operasioanl variable adalah sebagai berikut:

1. Variabel S sebagai variabel yang menunjukkan jumlah individu yang rentan terhadap penyakit *Covid-19*
2. Variabel E sebagai variabel yang menunjukkan jumlah inidividu yang terpapar penyakit dengan melakukan karantina mandiri
3. Variabel I sebagai variabel yang menunjukkan jumlah individu yang terkena penyakit *Covid-19*

4. Variabel R sebagai variabel yang menunjukkan jumlah individu yang sembuh dari penyakit *Covid-19*.

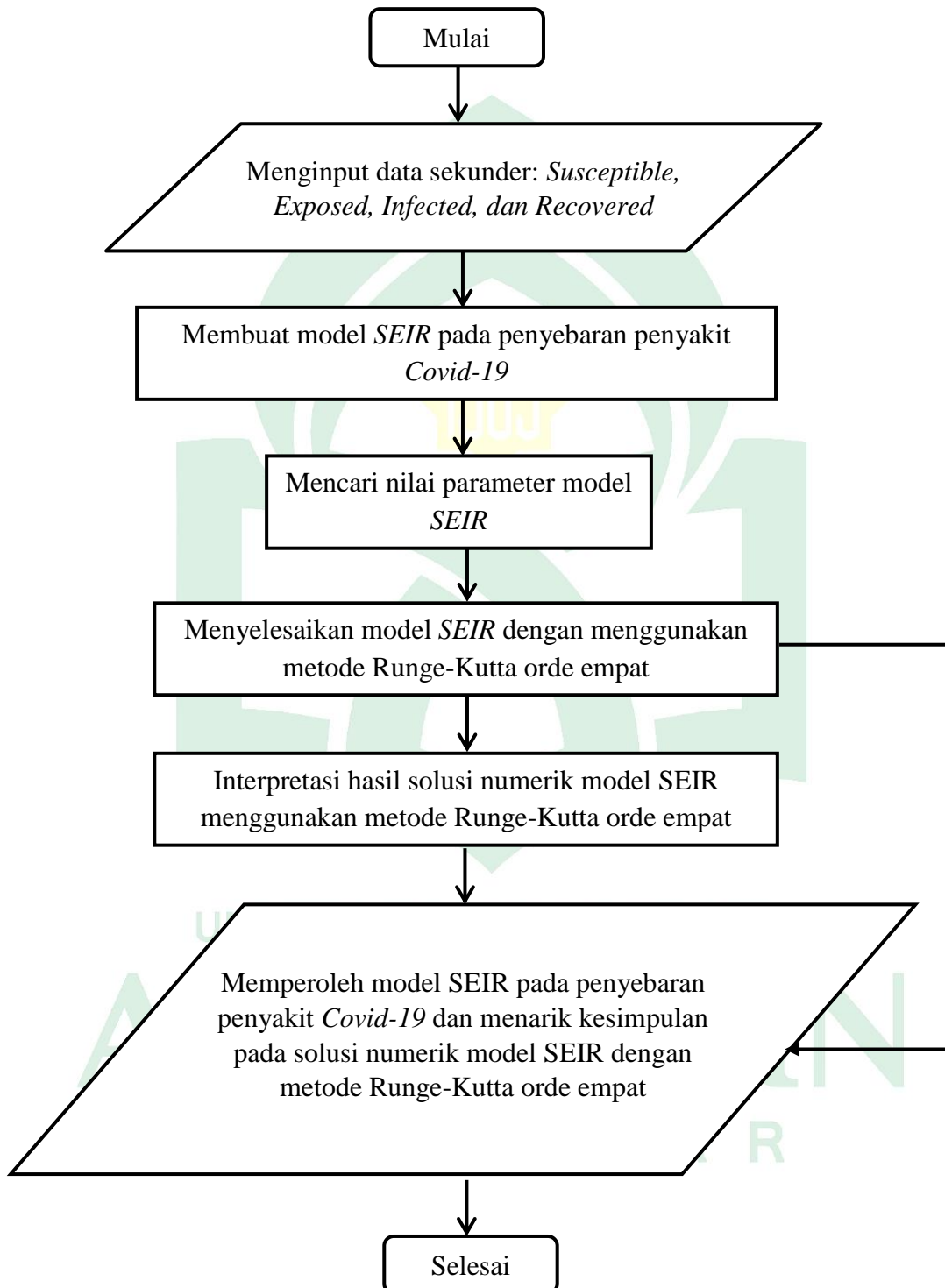
E. Prosedur Penelitian

Adapun prosedur penelitian yang diterapkan oleh peneliti adalah sebagai berikut:

1. Mengambil data sekunder untuk data SEIR yang berasal dari Dinas Kesehatan (Dinkes) Provinsi Sulawesi Barat dan Badan Pusat Statistik (BPS) Provinsi Sulawesi Barat.
2. Membuat model SEIR pada penyebaran penyakit *Covid-19*
3. Mencari nilai-nilai parameter yang akan digunakan
4. Menyelesaikan model SEIR menggunakan metode Runge-Kutta orde empat pada persamaan (2.17)
5. Interpretasi hasil solusi numerik model SEIR menggunakan metode Runge-Kutta orde empat.
6. Menarik kesimpulan pada solusi numerik model SEIR menggunakan metode Runge-Kutta orde empat.

F. Skema Penyelesaian Masalah

Skema penyelesaian masalah ditunjukkan pada Gambar 3.1



Gambar 3.1 Skema Penyelesaian Masalah

BAB IV

HASIL DAN PEMBAHASAN

A. HASIL PENELITIAN

Pada bab ini akan dipaparkan penyelesaian model SEIR pada penderita penyakit *Covid-19* secara numerik. Model SEIR pada penderita penyakit *Covid-19* merupakan sistem persamaan differensial nonlinear orde satu. Sistem persamaan tersebut kemudian diselesaikan menggunakan metode runge-kutta orde empat. Kemudian data yang telah dikumpulkan berupa nilai awal dan nilai parameter disubstitusi kedalam sistem persamaan tersebut. Pada bagian akhir akan dibahas tentang hasil solusi numerik menggunakan metode runge-kutta orde empat.

1. Data

Data berikut diperoleh dari Dinas Kesehatan Provinsi Sulawesi Barat dan Badan Pusat Statistik Provinsi Sulawesi Barat, yang terdiri dari data *Susceptible* atau populasi individu yang rentan terhadap penyakit *Covid-19* dengan simbol S_o , data *Exposed* atau populasi individu yang terdapat gejala penyakit *Covid-19* tetapi belum menjadi menderitanya dengan simbol E_o , data *Infected* atau populasi individu yang telah terpapar penyakit *Covid-19* dengan simbol I_o , dan data *Recovered* atau populasi individu yang telah sembuh dari penyakit *Covid-19* dengan simbol R_o .

Berdasarkan data Badan Pusat Statistik (BPS) Provinsi Sulawesi Barat pada tahun 2019 jumlah populasi penduduk yang ada di Sulawesi Barat yaitu sebesar 1 419 23 ribu jiwa. Populasi individu *Susceptible* (rentan) terhadap

penyakit *Covid-19* dihitung dengan mengurangkan jumlah populasi penduduk dengan jumlah populasi *Exposed*, populasi *Infected*, dan populasi *Recovered*, yaitu $S = N - (E + I + R) = 1419230 - (4765 + 230 + 140) = 1\,414\,095$ jiwa.

Tabel 4.1 Nilai awal

Variabel	Nilai (Jiwa)	Keterangan
S_o	1.414.095	Data populasi individu yang rentan terhadap penyakit <i>Covid-19</i> di Badan Pusat Statistik Provinsi Sulawesi Barat akhir 2019
E_o	4765	Data populasi individu yang terdapat gejala penyakit <i>Covid-19</i> atau masih dalam masa inkubasi di Dinas Kesehatan Provinsi Sulawesi Barat April-Juli 2020
I_o	230	Data populasi individu yang telah terinfeksi penyakit <i>Covid-19</i> di Dinas Kesehatan Provinsi Sulawesi Barat April-Juli 2020
R_o	140	Data Populasi individu yang telah sembuh dari penyakit <i>Covid-19</i> di Dinas Provinsi Sulawesi Barat April-Juli 2020

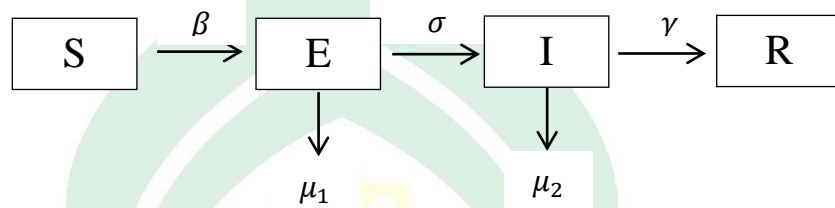
2. Model SEIR pada Penyebaran Penyakit *Covid-19*

Adapun asumsi yang digunakan untuk merumuskan model matematika pada penyakit *Covid-19* yaitu sebagai berikut:

- 1) Jumlah populasi konstan
- 2) Tidak ada kematian secara alami, kecuali kematian yang ada pada populasi *Exposed* dan *Infected*
- 3) Tidak terdapat migrasi
- 4) Individu yang telah terpapar penyakit *covid-19* dapat sembuh

- 5) Individu yang telah sembuh dari penyakit *Covid-19* tidak dapat terinfeksi Kembali

Berikut model SEIR pada penyebaran Covid-19 berdasarkan asumsi-
asumsi yang digunakan:



Selanjutnya disubstitusikan lebih lanjut kedalam bentuk persamaan biasa yaitu sebagai berikut:

$$\frac{dS}{dt} = f(t, S, E, I, R) = -(\beta SI) \quad (4.1)$$

$$\frac{dE}{dt} = g(t, S, E, I, R) = \beta SI - (\sigma + \mu_1)E \quad (4.2)$$

$$\frac{dI}{dt} = h(t, S, E, I, R) = \sigma E - (\gamma + \mu_2)I \quad (4.3)$$

$$\frac{dR}{dt} = j(t, S, E, I, R) = \gamma I \quad (4.4)$$

Keterangan:

S = Jumlah individu yang rentan

E = Jumlah individu terekspose

I = Jumlah individu terinfeksi

R = Jumlah individu yang telah sembuh

β = Laju kontak individu

σ = Masa inkubasi

γ = Tingkat pemulihan pada individu *Infected* menjadi individu *Recovered*

μ_1 = Laju tingkat kematian individu pada populasi *Exposed*

μ_2 = Laju tingkat kematian individu yang terinfeksi penyakit *Covid-19*

3. Nilai Parameter Model SEIR

Nilai parameter-parameter yang akan digunakan pada model SEIR pada penyebaran penyakit *Covid-19* dapat dilihat pada tabel sebagai berikut:

Tabel 4.2 Nilai Parameter

Parameter	Definisi	Formulasi	Sumber
β	Tingkat individu rentan yang terinfeksi	$\beta = \frac{1}{\text{Jumlah suspek}}$ $\beta = \frac{1}{1414095}$ $\beta = 0,0000007071$	Linda Handayani. 2020. The Outbreaks modeling of coronavirus using the modified SEIR model in Indonesia
σ	Masa inkubasi	$\sigma = \frac{1}{\text{Masa inkubasi}}$ $\sigma = \frac{1}{14 \text{ hari}}$ $\sigma = \frac{1}{2} \text{ minggu}$	Mujiyanti. 2019. Pemodelan matematika penyebaran

γ	Laju kesembuhan dari individu terinfeksi menjadi individu sembuh (tiap individu)	$\gamma = \frac{1}{Masa\ Pemulihan}$ $\gamma = \frac{1}{30\ hari}$ $\gamma = \frac{1}{4,28571429}$ $\gamma = 0,23333$	penyakit <i>MERS-CoV</i> dengan penggunaan masker kesehatan dan vaksinasi	
	μ_1	Laju kematian individu yang berasal dari populasi <i>Exposed</i>	$\mu_1 = \frac{1}{Jumlah\ populasi\ meninggal\ x 19\ m}$ $\mu_1 = \frac{1}{13\ x\ 19\ minggu}$ $\mu_1 = 0,00404858$	Rismayanti. 2021. Solusi numerik model penyebaran penyakit <i>Covid-19</i> di Sulawesi Selatan dengan menggunakan metode runge-kutta orde empat
	μ_2	Laju kematian individu yang berasal dari populasi <i>Infected</i>	$\mu_2 = \frac{1}{Jumlah\ populasi\ meninggal\ x 19\ m}$ $\mu_2 = \frac{1}{4\ x\ 19\ minggu}$ $\mu_2 = 0,01315789$	

4. Solusi Numerik Model SEIR pada Penyakit *Covid-19*

Persamaan yang dihasilkan pada model SEIR pada penyebaran penyakit *Covid-19* yaitu persamaan (4.1) sampai (4.4) diselesaikan menggunakan metode Runge-Kutta Orde Empat (2.23).

$$y_{1+i} = y_i + \frac{1}{6}(k_1 + 2k_2 + 2k_3 + k_4)\Delta x$$

Maka diperoleh persamaan (4.5) hingga (4.8)

$$S_{1+i} = S_i + \frac{1}{6}(m_1 + 2m_2 + 2m_3 + m_4)\Delta x \quad (4.5)$$

$$E_{1+i} = E_i + \frac{1}{6}(n_1 + 2n_2 + 2n_3 + n_4)\Delta x \quad (4.6)$$

$$I_{1+i} = I_i + \frac{1}{6}(p_1 + 2p_2 + 2p_3 + p_4)\Delta x \quad (4.7)$$

$$R_{1+i} = R_i + \frac{1}{6}(q_1 + 2q_2 + 2q_3 + q_4)\Delta x \quad (4.8)$$

Dengan

$$\begin{aligned} m_1 &= f(t_i, S_i, E_i, I_i, R_i) \\ &= -(\beta S_i I_i) \end{aligned}$$

$$\begin{aligned} n_1 &= g(t_i, S_i, E_i, I_i, R_i) \\ &= (\beta S_i I_i) - (\sigma + \mu_1)E_i \end{aligned}$$

$$\begin{aligned} p_1 &= h(t_i, S_i, E_i, I_i, R_i) \\ &= \sigma E_i - (\gamma + \mu_2)I_i \end{aligned}$$

$$\begin{aligned} q_1 &= j(t_i, S_i, E_i, I_i, R_i) \\ &= \gamma I_i \end{aligned}$$

$$\begin{aligned} m_2 &= f\left(t_i + \frac{1}{2}\Delta x, S_i + m_1 \frac{1}{2}\Delta x, E_i + n_1 \frac{1}{2}\Delta x, I_i + p_1 \frac{1}{2}\Delta x, R_i + q_1 \frac{1}{2}\Delta x\right) \\ &= -\left(\beta \left(S_i + m_1 \frac{1}{2}\Delta x\right) \left(I_i + p_1 \frac{1}{2}\Delta x\right)\right) \end{aligned}$$

$$n_2 = g\left(t_i + \frac{1}{2}\Delta x, S_i + m_1\frac{1}{2}\Delta x, E_i + n_1\frac{1}{2}\Delta x, I_i + p_1\frac{1}{2}\Delta x, R_i + q_1\frac{1}{2}\Delta x\right)$$

$$= \left(\beta\left(S_i + m_1\frac{1}{2}\Delta x\right)\left(I_i + p_1\frac{1}{2}\Delta x\right)\right) - (\sigma + \mu_1)\left(E_i + n_1\frac{1}{2}\Delta x\right)$$

$$p_2 = h\left(t_i + \frac{1}{2}\Delta x, S_i + m_1\frac{1}{2}\Delta x, E_i + n_1\frac{1}{2}\Delta x, I_i + p_1\frac{1}{2}\Delta x, R_i + q_1\frac{1}{2}\Delta x\right)$$

$$= \sigma\left(E_i + n_1\frac{1}{2}\Delta x\right) - (\gamma + \mu_2)\left(I_i + p_1\frac{1}{2}\Delta x\right)$$

$$q_2 = j\left(t_i + \frac{1}{2}\Delta x, S_i + m_1\frac{1}{2}\Delta x, E_i + n_1\frac{1}{2}\Delta x, I_i + p_1\frac{1}{2}\Delta x, R_i + q_1\frac{1}{2}\Delta x\right)$$

$$= \gamma\left(I_i + p_1\frac{1}{2}\Delta x\right)$$

$$m_3 = f\left(t_i + \frac{1}{2}\Delta x, S_i + m_2\frac{1}{2}\Delta x, E_i + n_2\frac{1}{2}\Delta x, I_i + p_2\frac{1}{2}\Delta x, R_i + q_2\frac{1}{2}\Delta x\right)$$

$$= -\left(\beta\left(S_i + m_2\frac{1}{2}\Delta x\right)\left(I_i + p_2\frac{1}{2}\Delta x\right)\right)$$

$$n_3 = g\left(t_i + \frac{1}{2}\Delta x, S_i + m_2\frac{1}{2}\Delta x, E_i + n_2\frac{1}{2}\Delta x, I_i + p_2\frac{1}{2}\Delta x, R_i + q_2\frac{1}{2}\Delta x\right)$$

$$= \left(\beta\left(S_i + m_2\frac{1}{2}\Delta x\right)\left(I_i + p_2\frac{1}{2}\Delta x\right)\right) - (\sigma + \mu_1)\left(E_i + n_2\frac{1}{2}\Delta x\right)$$

$$p_3 = h\left(t_i + \frac{1}{2}\Delta x, S_i + m_2\frac{1}{2}\Delta x, E_i + n_2\frac{1}{2}\Delta x, I_i + p_2\frac{1}{2}\Delta x, R_i + q_2\frac{1}{2}\Delta x\right)$$

$$= \sigma\left(E_i + n_2\frac{1}{2}\Delta x\right) - (\gamma + \mu_2)\left(I_i + p_2\frac{1}{2}\Delta x\right)$$

$$q_3 = j\left(t_i + \frac{1}{2}\Delta x, S_i + m_2\frac{1}{2}\Delta x, E_i + n_2\frac{1}{2}\Delta x, I_i + p_2\frac{1}{2}\Delta x, R_i + q_2\frac{1}{2}\Delta x\right)$$

$$= \gamma\left(I_i + p_2\frac{1}{2}\Delta x\right)$$

$$m_4 = f(t_i + \Delta x, S_i + m_3\Delta x, E_i + n_3\Delta x, I_i + p_3\Delta x, R_i + q_3\Delta x)$$

$$= -(\beta(S_i + m_3\Delta x)(I_i + p_3\Delta x))$$

$$n_4 = g(t_i + \Delta x, S_i + m_3 \Delta x, E_i + n_3 \Delta x, I_i + p_3 \Delta x, R_i + q_3 \Delta x)$$

$$= (\beta(S_i + m_3 \Delta x)(I_i + p_3 \Delta x)) - (\sigma + \mu_1)(E_i + n_3 \Delta x)$$

$$p_4 = h(t_i + \Delta x, S_i + m_3 \Delta x, E_i + n_3 \Delta x, I_i + p_3 \Delta x, R_i + q_3 \Delta x)$$

$$= \sigma(E_i + n_3 \Delta x) - (\gamma + \mu_2)(I_i + p_3 \Delta x)$$

$$q_4 = j(t_i + \Delta x, S_i + m_3 \Delta x, E_i + n_3 \Delta x, I_i + p_3 \Delta x, R_i + q_3 \Delta x)$$

$$= \gamma(I_i + p_3 \Delta x)$$

Selanjutnya mensubstitusi nilai awal dan paramter-parameter untuk seluruh kelas populasi yang akan digunakan, yang telah dicantumkan pada tabel 4.1 dan tabel 4.2. Nilai tersebut dimasukkan kedalam persamaan (4.5) sampai (4.8) yang dimana merupakan solusi numerik model SEIR pada penyebaran penyakit *Covid-19*.

Pada iterasi pertama, diberikan $S_0 = 1414095$, $E_0 = 4765$, $I_0 = 230$, $R_0 = 140$ sebagai nilai awal dengan jarak langkah atau interval waktu yang akan digunakan yaitu $\Delta x = 0,5$ sehingga diperoleh hasil numerik model SEIR pada penyebaran penyakit *Covid-19* menggunakan metode runge-kutta orde empat sebagaimana pada persamaan sebagai berikut:

$$S_{0+1} = S_0 + \frac{1}{6}(m_1 + 2m_2 + 2m_3 + m_4)\Delta x \quad (4.9)$$

$$E_{0+1} = E_0 + \frac{1}{6}(n_1 + 2n_2 + 2n_3 + n_4)\Delta x \quad (4.10)$$

$$I_{0+1} = I_0 + \frac{1}{6}(p_1 + 2p_2 + 2p_3 + p_4)\Delta x \quad (4.11)$$

$$R_{0+1} = R_0 + \frac{1}{6}(q_1 + 2q_2 + 2q_3 + q_4)\Delta x \quad (4.12)$$

Dengan

$$m_1 = f(t_0, S_0, E_0, I_0, R_0)$$

$$\begin{aligned}
&= -(\beta S_0 I_0) \\
&= -(0,0000007071 \times 1414095 \times 230) \\
&= -229,9785
\end{aligned}$$

$$\begin{aligned}
n_1 &= g(t_0, S_0, E_0, I_0, R_0) \\
&= (\beta S_0 I_0) - (\sigma + \mu_1) E_0 \\
&= (0,0000007071 \times 1414095 \times 230) - (0,5 + 0,00404858) 4765 \\
&= -2171,812986
\end{aligned}$$

$$\begin{aligned}
p_1 &= h(t_0, S_0, E_0, I_0, R_0) \\
&= \sigma E_0 - (\gamma + \mu_2) I_0 \\
&= (0,5 \times 4765) - (0,23333 + 0,013157895) 230 \\
&= 2325,8077842
\end{aligned}$$

$$\begin{aligned}
q_1 &= j(t_0, S_0, E_0, I_0, R_0) \\
&= \gamma I_0 \\
&= (0,23333 \times 230) \\
&= 53,6659
\end{aligned}$$

$$\begin{aligned}
m_2 &= f\left(t_0 + \frac{1}{2} \Delta x, S_0 + m_1 \frac{1}{2} \Delta x, E_0 + n_1 \frac{1}{2} \Delta x, I_0 + p_1 \frac{1}{2} \Delta x, R_0 + q_1 \frac{1}{2} \Delta x\right) \\
&= -\left(\beta \left(S_0 + m_1 \frac{1}{2} \Delta x\right) \left(I_0 + p_1 \frac{1}{2} \Delta x\right)\right) \\
&= -(0,0000007071 \left(1414095 + \left(-229,9785 \left(\frac{1}{2}\right) (0,5)\right)\right) \left(230 + \right. \\
&\quad \left. (2325,8077842) \left(\frac{1}{2}\right) (0,5)\right) \\
&= -811,4189508
\end{aligned}$$

$$n_2 = g\left(t_0 + \frac{1}{2} \Delta x, S_0 + m_1 \frac{1}{2} \Delta x, E_0 + n_1 \frac{1}{2} \Delta x, I_0 + p_1 \frac{1}{2} \Delta x, R_0 + q_1 \frac{1}{2} \Delta x\right)$$

$$\begin{aligned}
&= \left(\beta \left(S_0 + m_1 \frac{1}{2} \Delta x \right) \left(I_0 + p_1 \frac{1}{2} \Delta x \right) \right) - (\sigma + \mu_1) \left(E_0 + n_1 \frac{1}{2} \Delta x \right) \\
&= (0,0000007071 \left(1414095 + \left(-229,9785 \left(\frac{1}{2} \right) (0,5) \right) \right) \left(230 + \right. \\
&\quad \left. (2325,8077842) \left(\frac{1}{2} \right) (0,5) \right) - \left((0,5 + 0,004048583) \left(4765 + \right. \right. \\
&\quad \left. \left. \left((-2171,812986) \left(\frac{1}{2} \right) (0,5) \right) \right) \right) \\
&= -1316,7004
\end{aligned}$$

$$\begin{aligned}
p_2 &= h \left(t_0 + \frac{1}{2} \Delta x, S_0 + m_1 \frac{1}{2} \Delta x, E_0 + n_1 \frac{1}{2} \Delta x, I_0 + p_1 \frac{1}{2} \Delta x, R_0 + q_1 \frac{1}{2} \Delta x \right) \\
&= \sigma \left(E_0 + n_1 \frac{1}{2} \Delta x \right) - (\gamma + \mu_2) \left(I_0 + p_1 \frac{1}{2} \Delta x \right) \\
&= 0,5 \left(4765 + \left((-2171,812986) \left(\frac{1}{2} \right) (0,5) \right) \right) - (0,23333 + \\
&\quad 0,013157895) \left(230 + \left((2325,8077842) \left(\frac{1}{2} \right) (0,5) \right) \right) \\
&= 1911,01029
\end{aligned}$$

$$\begin{aligned}
q_2 &= j \left(t_0 + \frac{1}{2} \Delta x, S_0 + m_1 \frac{1}{2} \Delta x, E_0 + n_1 \frac{1}{2} \Delta x, I_0 + p_1 \frac{1}{2} \Delta x, R_0 + q_1 \frac{1}{2} \Delta x \right) \\
&= \gamma \left(I_0 + p_1 \frac{1}{2} \Delta x \right) \\
&= 0,23333 \left(230 + \left((2325,8077842) \left(\frac{1}{2} \right) (0,5) \right) \right) \\
&= 189,33608
\end{aligned}$$

$$\begin{aligned}
m_3 &= f \left(t_0 + \frac{1}{2} \Delta x, S_0 + m_1 \frac{1}{2} \Delta x, E_0 + n_1 \frac{1}{2} \Delta x, I_0 + p_1 \frac{1}{2} \Delta x, R_0 + q_1 \frac{1}{2} \Delta x \right) \\
&= - \left(\beta \left(S_0 + m_2 \frac{1}{2} \Delta x \right) \left(I_0 + p_2 \frac{1}{2} \Delta x \right) \right)
\end{aligned}$$

$$\begin{aligned}
&= -\left(0,0000007071\left(1414095 + \right.\right. \\
&\quad \left.\left.(-811,4189508\left(\frac{1}{2}\right)(0,5)\right)\right)\left(230 + (1911,01029)\left(\frac{1}{2}\right)(0,5)\right)\right) \\
&= -707,65171
\end{aligned}$$

$$\begin{aligned}
n_3 &= g\left(t_0 + \frac{1}{2}\Delta x, S_0 + m_1\frac{1}{2}\Delta x, E_0 + n_1\frac{1}{2}\Delta x, I_0 + p_1\frac{1}{2}\Delta x, R_0 + q_1\frac{1}{2}\Delta x\right) \\
&= \left(\beta\left(S_0 + m_2\frac{1}{2}\Delta x\right)\left(I_0 + p_2\frac{1}{2}\Delta x\right)\right) - (\sigma + \mu_1)\left(E_0 + n_2\frac{1}{2}\Delta x\right) \\
&= \left(0,0000007071\left(1414095 + \right.\right. \\
&\quad \left.\left.(-811,4189508\left(\frac{1}{2}\right)(0,5)\right)\right)\left(230 + (1911,01029)\left(\frac{1}{2}\right)(0,5)\right)\right) - \\
&\quad \left(\left(0,5 + 0,004048583\right)\left(4765 + \left((-1316,7004)\left(\frac{1}{2}\right)(0,5)\right)\right)\right) \\
&= -1528,2195
\end{aligned}$$

$$\begin{aligned}
p_3 &= h\left(t_0 + \frac{1}{2}\Delta x, S_0 + m_1\frac{1}{2}\Delta x, E_0 + n_1\frac{1}{2}\Delta x, I_0 + p_1\frac{1}{2}\Delta x, R_0 + q_1\frac{1}{2}\Delta x\right) \\
&= \sigma\left(E_0 + n_2\frac{1}{2}\Delta x\right) - (\gamma + \mu_2)\left(I_0 + p_2\frac{1}{2}\Delta x\right) \\
&= 0,5\left(4765 + \left((-1316,7004)\left(\frac{1}{2}\right)(0,5)\right)\right) - (0,5 + \\
&\quad 0,013157895)\left(230 + \left((1911,01029)\left(\frac{1}{2}\right)(0,5)\right)\right) \\
&= 2043,45983
\end{aligned}$$

$$\begin{aligned}
q_3 &= j\left(t_0 + \frac{1}{2}\Delta x, S_0 + m_1\frac{1}{2}\Delta x, E_0 + n_1\frac{1}{2}\Delta x, I_0 + p_1\frac{1}{2}\Delta x, R_0 + q_1\frac{1}{2}\Delta x\right) \\
&= \gamma\left(I_0 + p_2\frac{1}{2}\Delta x\right)
\end{aligned}$$

$$= 0,233333333 \left(230 + \left((1911,01029) \left(\frac{1}{2} \right) (0,5) \right) \right)$$

$$= 165,14006$$

$$m_4 = f(t_0 + \Delta x, S_0 + m_3 \Delta x, E_0 + n_3 \Delta x, I_0 + p_3 \Delta x, R_0 + q_3 \Delta x)$$

$$= -(\beta(S_0 + m_3 \Delta x)(I_0 + p_3 \Delta x))$$

$$= -\left(0,0000007071 \left(1414095 + ((-707,65171)(0,5)) \right) \left(230 + (2043,45983) (0,5) \right) \right)$$

$$= -1251,416718$$

$$n_4 = g(t_0 + \Delta x, S_0 + m_3 \Delta x, E_0 + n_3 \Delta x, I_0 + p_3 \Delta x, R_0 + q_3 \Delta x)$$

$$= (\beta(S_0 + m_3 \Delta x)(I_0 + p_3 \Delta x)) - (\sigma + \mu_1)(E_0 + n_3 \Delta x)$$

$$= \left(0,0000007071 \left(1414095 + ((-707,65171)(0,5)) \right) \left(230 + (2043,45983) (0,5) \right) \right) - \left((0,5 + 0,004048583) \left(4765 + ((-1528,2195)(0,5)) \right) \right)$$

$$= -765,22633$$

$$p_4 = h(t_0 + \Delta x, S_0 + m_3 \Delta x, E_0 + n_3 \Delta x, I_0 + p_3 \Delta x, R_0 + q_3 \Delta x)$$

$$= \sigma(E_0 + n_3 \Delta x) - (\gamma + \mu_2)(I_0 + p_3 \Delta x)$$

$$= 0,5 \left(4765 + ((-1528,2195)(0,5)) \right) - (0,23333 + 0,013157895) \left(230 + ((2043,45983)(0,5)) \right)$$

$$= 1691,908844$$

$$q_4 = j(t_0 + \Delta x, S_0 + m_3 \Delta x, E_0 + n_3 \Delta x, I_0 + p_3 \Delta x, R_0 + q_3 \Delta x)$$

$$\begin{aligned}
&= \gamma(I_0 + p_3\Delta x) \\
&= 0,23333 \left(230 + ((2043,45983)(0,5)) \right) \\
&= 292,06614
\end{aligned}$$

Nilai m_1 sampai m_4 , n_1 sampai n_4 , p_1 sampai p_4 , dan q_1 sampai q_4 disubstitusi kedalam persamaan (4.9) sampai (4.12). Maka akan didapatkan solusi numerik model SEIR pada penderita penyakit *Covid-19* dengan menggunakan metode runge-kutta orde empat yaitu sebagai berikut:

$$\begin{aligned}
S_{0+1} &= S_0 + \frac{1}{6}(m_1 + 2m_2 + 2m_3 + m_4)\Delta x \\
&= 1414095 + \frac{1}{6} \left((-229,9785) + 2(-811,4189508) + \right. \\
&\quad \left. 2(-707,65171) + (-1251,416718) \right) 0,5 \\
&= 1413718,37
\end{aligned}$$

$$\begin{aligned}
E_{0+1} &= E_0 + \frac{1}{6}(n_1 + 2n_2 + 2n_3 + n_4)\Delta x \\
&= 4765 + \frac{1}{6} \left((-2171,812986) + 2(-1316,7004) + \right. \\
&\quad \left. 2(-1528,2195) + (-765,22633) \right) 0,5 \\
&= 4046,0951
\end{aligned}$$

$$\begin{aligned}
I_{0+1} &= I_0 + \frac{1}{6}(p_1 + 2p_2 + 2p_3 + p_4)\Delta x \\
&= 230 + \frac{1}{6} \left((2325,8077842) + 2(1911,01029) + \right. \\
&\quad \left. 2(2043,45983) + (1691,908844) \right) 0,5 \\
&= 1223,889
\end{aligned}$$

$$R_{0+1} = R_0 + \frac{1}{6}(q_1 + 2q_2 + 2q_3 + q_4)\Delta x$$

$$\begin{aligned}
&= 140 + \frac{1}{6} ((53,6659) + 2(189,33608) + 2(165,14006) + \\
&(292,06614))0,5 \\
&= 227,8904
\end{aligned}$$

Adapun hasil iterasi solusi numerik selanjutnya menggunakan microsoft excel yaitu pada tabel berikut:

Tabel 4.3 Tabel Hasil Solusi Numerik Penyakit *Covid-19* Dengan Menggunakan Metode Runge-Kutta Orde Empat

<i>Iterasi</i>	Δx (Minggu)	S_i	E_i	I_i	R_i
1	0.5	1413718,37	4046,095	1223,889	227,8904
2	1	1412905,733	3870,552	2003,716	417,6078
3	1.5	1411730,002	4054,142	2697,719	692,2863
4	2	1410213,119	4498,264	3387,143	1047,004
5	2.5	1408343,888	5155,308	4127,276	1484,643
6	3	1406087,726	6008,803	4959,841	2013,646
7	3.5	1403391,652	7062,142	5920,406	2646,911
8	4	1400186,426	8332,307	7042,938	3401,352
9	4.5	1396386,974	9846,497	8362,738	4297,902
10	5	1391891,744	11640,43	9918,455	5361,789
11	5.5	1386581,416	13757,61	11753,6	6623,021
12	6	1380317,217	16249,06	13917,79	8117,027
13	6.5	1372939,065	19173,33	16467,77	9885,43
14	7	1364263,735	22596,4	19468,39	11976,94
15	7.5	1354083,296	26591,41	22993,37	14448,34
16	8	1342164,106	31237,96	27125,87	17365,56
17	8.5	1328246,732	36620,7	31958,77	20804,8
18	9	1312047,299	42826,96	37594,49	24853,66
19	9.5	1293260,827	49943,23	44144,08	29612,2
20	10	1271567,259	58049,89	51725,45	35193,85
21	10.5	1246640,905	67214,17	60460,33	41726,07
22	11	1218164,021	77481,02	70469,68	49350,53
23	11.5	1185845,051	88861,84	81867,21	58222,65
24	12	1149441,724	101321,5	94750,82	68510,29
25	12.5	1108788,508	114764,2	109191,8	80391,31
26	13	1063827,078	129020,2	125222	94049,69

27	13.5	1014637,213	143835	142819,6	109670,2
28	14	961464,3929	158863,8	161894,7	127431,1
29	14.5	904739,2746	173674,8	182276,2	147495,6
30	15	845083,8969	187763	203701,9	170001,9
31	15.5	783300,1035	200577,7	225815,2	195051,8
32	16	720337,6823	211560,7	248169,5	222700,3
33	16.5	657242,9376	220193,9	270242,5	252945,7
34	17	595092,2992	226049,5	291460,6	285722,1
35	17.5	534919,0899	228834,5	311231,4	320895,2
36	18	477643,6144	228421,9	328981,7	358262,3
37	18.5	424016,488	224864,4	344196,5	397557
38	19	374582,5438	218384,8	356453,6	438457,8
39	19.5	329668,4685	209349,5	365450,2	480600,8
40	20	289392,8098	198226,6	371017,9	523594,3
41	20.5	253693,4005	185539,2	373125,5	567035,2
42	21	222365,3548	171819,2	371870,1	610524,4
43	21.5	195102,703	157568,5	367460,1	653680,7
44	22	171537,9997	143231	360190,9	696152,5
45	22.5	151276,1762	129175,4	350419,7	737626,6
46	23	133920,8712	115689,2	338538,9	777833,9
47	23.5	119093,047	102980,1	324953,5	816551,7
48	24	106442,7218	91183,6	310061,5	853604,6
49	24.5	95655,15121	80374,04	294239,2	888862,4
50	25	86452,90565	70576,05	277830,3	922236,9
51	25.5	78595,15997	61776,49	261139,9	953677,8
52	26	71875,26881	53934,98	244431	983168,1
53	26.5	66117,43376	46992,95	227924,4	1010719
54	27	61173,02316	40880,93	211800	1036365
55	27.5	56916,90711	35524,21	196199,8	1060159
56	28	53244,02176	30847,06	181231,6	1082169
57	28.5	50066,27248	26775,68	166973	1102473
58	29	47309,81689	23240,14	153475,7	1121158
59	29.5	44912,72642	20175,62	140769,7	1138315
60	30	42823,00141	17522,98	128866,7	1154035
61	30.5	40996,90279	15228,98	117763,9	1168414
62	31	39397,56001	13246,21	107447,3	1181544
63	31.5	37993,81504	11532,78	97893,59	1193515
64	32	36759,26546	10051,95	89073,25	1204414
65	32.5	35671,47399	8771,661	80952	1214325
66	33	34711,31595	7664,092	73492,54	1223328
67	33.5	33862,44055	6705,172	66655,78	1231498

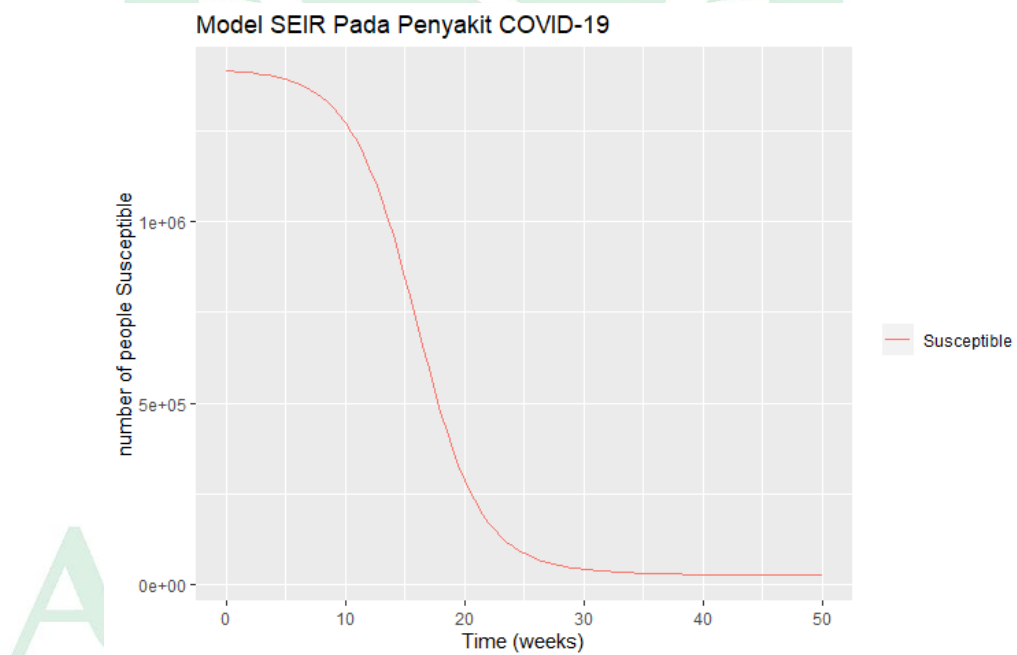
68	34	33110,82593	5874,141	60401,95	1238904
69	34.5	32444,4111	5153,136	54691,33	1245612
70	35	31852,79094	4526,815	49484,92	1251684
71	35.5	31326,96303	3982,021	44744,92	1257177
72	36	30859,11682	3507,474	40435,02	1262141
73	36.5	30442,45783	3093,514	36520,7	1266627
74	37	30071,06043	2731,867	32969,31	1270677
75	37.5	29739,74429	2415,445	29750,21	1274332
76	38	29443,97037	2138,175	26834,75	1277630
77	38.5	29179,75309	1894,848	24196,3	1280605
78	39	28943,58583	1680,994	21810,17	1283286
79	39.5	28732,37772	1492,773	19653,56	1285702
80	40	28543,3996	1326,879	17705,49	1287880
81	40.5	28374,23793	1180,468	15946,67	1289841
82	41	28222,75509	1051,083	14359,43	1291607
83	41.5	28087,05535	936,604	12927,64	1293198
84	42	27965,45538	835,1935	11636,54	1294629
85	42.5	27856,45877	745,2602	10472,7	1295918
86	43	27758,73391	665,4213	9423,894	1297077
87	43.5	27671,0947	594,474	8479,009	1298121
88	44	27592,48376	531,3699	7627,959	1299059
89	44.5	27521,95773	475,1937	6861,595	1299904
90	45	27458,67436	425,1447	6171,63	1300663
91	45.5	27401,88122	380,5216	5550,559	1301346
92	46	27350,9057	340,7086	4991,596	1301961
93	46.5	27305,14622	305,1648	4488,603	1302513
94	47	27264,06452	273,4137	4036,038	1303010
95	47.5	27227,17875	245,0355	3628,892	1303457
96	48	27194,0574	219,6592	3262,649	1303858
97	48.5	27164,3139	196,9571	2933,23	1304219
98	49	27137,60183	176,6389	2636,959	1304544
99	49.5	27113,6107	158,4473	2370,523	1304836
100	50	27092,06208	142,1542	2130,934	1305098

5. Interpretasi Hasil

Pada saat $\Delta x = 0,5$ minggu besarnya populasi masyarakat yang *Susceptible* atau rentan terhadap penyakit *Covid-19* (*S*) adalah 1413718 jiwa, besarnya populasi *Exposed* terhadap penyakit *Covid-19* (*E*) adalah

4046 jiwa, besarnya populasi *Infected* penyakit *Covid-19* (I) adalah 1223 jiwa, dan besarnya populasi *Recovered* atau sembuh terhadap penyakit *Covid-19* (R) adalah 227 jiwa. Selanjutnya melakukan hal yang sama yaitu untuk iterasi selanjutnya dengan S_i, E_i, I_i, R_i dimana untuk $i = 1, 2, 3, \dots$ dst sebagai nilai awal.

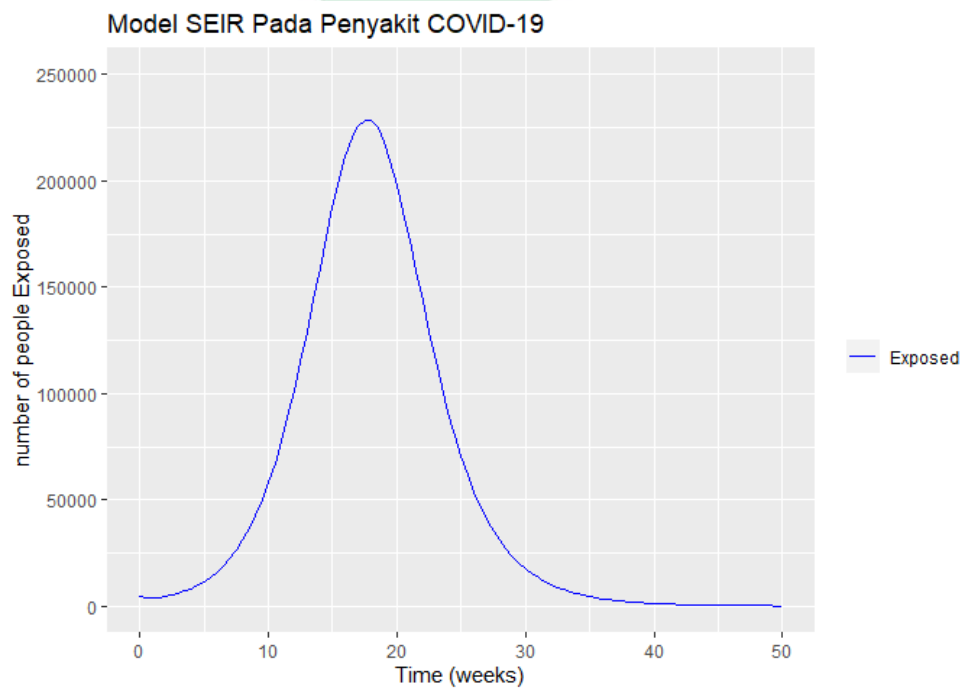
Plot grafik hasil iterasi solusi numerik menggunakan metode runge-kutta orde empat pada penyebaran penyakit *Covid-19* untuk setiap *Susceptible*, *Eksposed*, *Infected*, dan *Recovered* menggunakan R, akan ditunjukkan pada plot grafik yaitu sebagai berikut:



Gambar 4.1 Penyebaran Jumlah *Susceptible* penyakit *Covid-19*

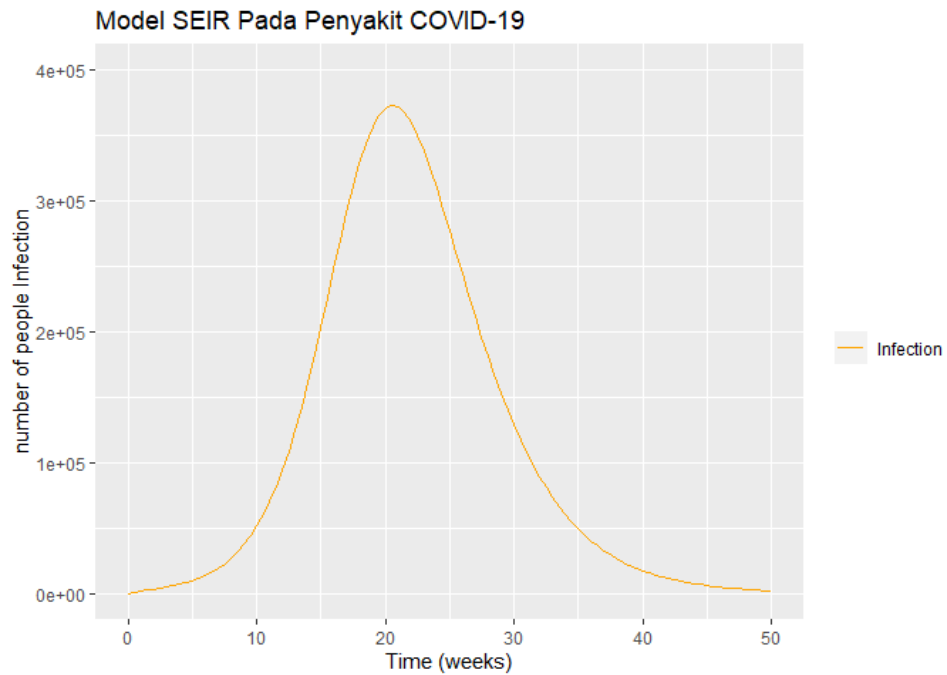
Pada Gambar 4.1 memperlihatkan bahwa dengan jumlah nilai awal atau S_0 senilai 1414095 dapat membuat gambar populasi *Susceptible*

membentuk grafik garis menurun dari waktu ke waktu. Menurunnya populasi *Susceptible* disebabkan karenanya banyaknya populasi yang berpindah menjadi *Exposed* yang disebabkan oleh populasi *Susceptible* pernah berkontak langsung dengan populasi *Infected*.



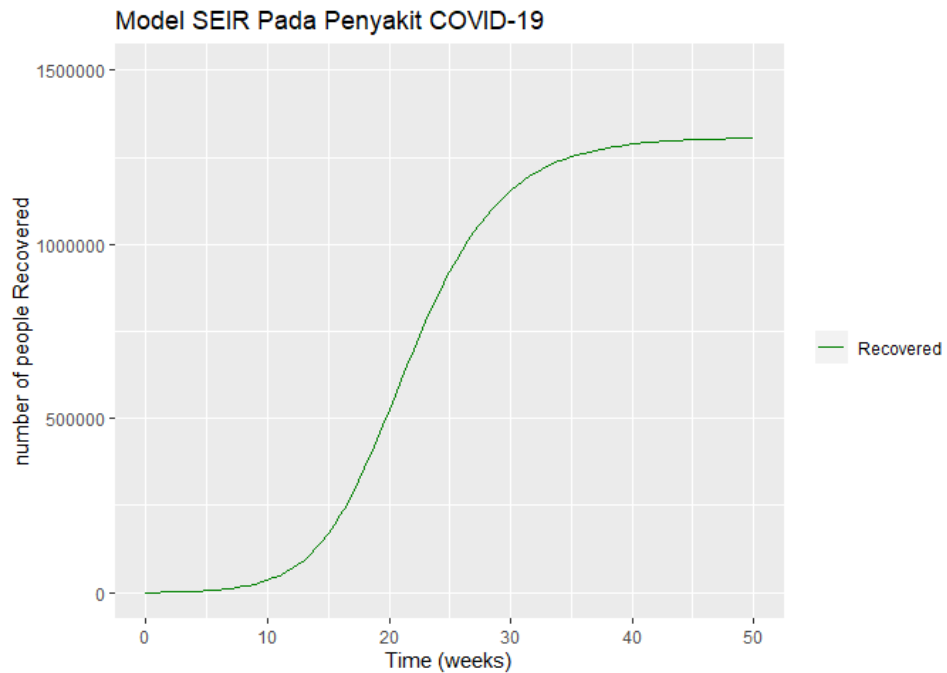
Gambar 4.2 Penyebaran Jumlah *Exposed* Penyakit *Covid-19*

Pada gambar 4.2 memperlihatkan bahwa dengan jumlah nilai awal atau E_0 senilai 4765 dapat membuat gambar populasi *Exposed* mengalami peningkatan hingga berada pada waktu $\Delta x = 17,5$ minggu kedepan, populasi individu *Exposed* (E) mencapai 228832 jiwa. Pada titik $\Delta x = 17,5$ minggu mencapai titik puncaknya, namun setelah melewati titik puncak, terjadi juga penurunan secara terus menerus. Penurunan tersebut menunjukkan bahwa dalam beberapa waktu kedepan yang terjadi pada populasi *Exposed* akan mengalami penurunan.



Gambar 4.3 Penyebaran Jumlah *Infected* Penyakit *Covid-19*

Pada gambar 4.3 memperlihatkan bahwa dengan jumlah nilai awal atau I_0 senilai 230 dapat membuat gambar populasi *Infected* mengalami peningkatan hingga berada pada waktu $\Delta x = 20,5$ minggu kedepan, populasi individu *Infected* (I) mencapai 373119 jiwa. Pada titik $\Delta x = 20,5$ minggu mencapai titik puncaknya, namun setelah melewati titik puncak, terjadi juga penurunan secara terus menerus. Penurunan tersebut menunjukkan bahwa dalam beberapa waktu kedepan yang terjadi pada populasi *Infected* akan mengalami penurunan.



Gambar 4.4 Penyebaran Jumlah *Recovered* Penyakit *Covid-19*

Pada gambar 4.4 memperlihatkan bahwa dengan jumlah nilai awal atau R_0 senilai 140 dapat membuat gambar populasi *Recovered* mengalami peningkatan dari waktu ke waktu. Peningkatan populasi *Recovered* disebabkan oleh tingkat pemulihan dari individu *Infected* menjadi *Recovered*, adapun besar jumlah populasi *Recovered* (R) pada waktu $\Delta x = 50$ minggu kedepan adalah 1305098 jiwa.

B. PEMBAHASAN

Pada penelitian kali ini menggunakan data yang didapatkan dari Dinas Kesehatan (Dinkes) Provinsi Sulawesi Barat dan Badan Pusat Statistik (BPS) Sulawesi Barat, adapun data yang diperoleh berupa data mingguan yang terhitung dari minggu ke-II April 2020 sampai minggu ke-IV Juli 2020. Pada rencana penelitian bahwa data yang dibutuhkan yaitu data terbaru terkait

Covid-19 pada tahun 2021, namun data terbaru tidak memiliki kelengkapan yang dibutuhkan pada model sehingga peneliti menggunakan data yang lama.

Mencari solusi numerik pada penyebaran penderita penyakit *Covid-19*, dengan terlebih dahulu membuat model, adapun model yang digunakan yaitu model SEIR yang terdiri atas *Susceptible*, *Exposed*, *Infected*, dan *Recovered*. Pada populasi *Susceptible* merupakan populasi rentan yang dimana akan berkurang ketika mengalami interaksi dengan individu yang telah terinfeksi oleh penyakit *Covid-19*. Populasi *Exposed* meningkat diakibatkan oleh adanya interaksi individu *Susceptible* dengan individu terinfeksi, namun secara bersamaan akan berkurang dikarenakan adanya kematian pada populasi *Exposed*. Populasi *Infected* meningkat diakibatkan meningkatnya populasi *Exposed* yang telah melewati masa inkubasi, namun secara bersamaan akan berkurang mengikuti laju kematian yang disebabkan oleh penyakit *Covid-19*. Dan populasi *Recovered* meningkat diakibatkan populasi *Infected* yang telah melewati masa pemulihan atau karantina selama 30 hari.

Model yang dihasilkan dalam bentuk persamaan differensial biasa yang selanjutnya akan diselesaikan secara numerik. Mencari nilai $m_1, m_2, m_3, m_4, n_1, n_2, n_3, n_4, p_1, p_2, p_3, p_4, q_1, q_2, q_3, q_4$ dan untuk interval waktu yang digunakan yaitu $\Delta x = 0,5$. Pada iterasi pertama yaitu menggunakan data perminggu, sehingga diperoleh $m_1 = -229,9785, m_2 = -811,4189508, m_3 = -707,65171, m_4 = -1251,416718, n_1 = -2171,812986, n_2 = -1316,7004, n_3 = -1528,2195, n_4 = -765,22633,$ untuk $p_1 = 2325,8077842, p_2 = 1911,01029, p_3 = 2043,45983, p_4 =$

1691,908844, $q_1 = 53,6659$, $q_2 = 189,33608$, $q_3 = 165,14006$, $q_4 = 292,06614$ maka didapatkan solusi numerik untuk 0,5 minggu yaitu $S_1 = 1413718,37$, $E_1 = 4046,0951$, $I_1 = 1223,889$, $R_1 = 227,8904$.

Selanjutnya untuk iterasi kedua atau minggu kedua diperoleh $m_1 = -1223,56$, $m_2 = -1653,43357$, $m_3 = -1601,32248$, $m_4 = -2018,5676$, $n_1 = -815,86599$, $n_2 = -283,1859$, $n_3 = -402,4211$, $n_4 = 80,55901$, untuk $p_1 = 1721,3788$, $p_2 = 1513,3161$, $p_3 = 1592,7221$, $p_4 = 1424,47522$, $q_1 = 285,5699$, $q_2 = 385,98195$, $q_3 = 373,8454$, $q_4 = 471,38483$ maka didapatkan solusi numerik untuk minggu pertama yaitu $S_2 = 1412905,73$, $E_2 = 3870,551$, $I_2 = 2003,716$, $R_2 = 417,6078$ begitupun untuk minggu seterusnya dapat menggunakan microsoft excel.

Berdasarkan hasil iterasi hasil pada tabel 4.3 ataupun plot grafik pada gambar 4.1 sampai 4.4 dapat dilihat bahwa besarnya populasi *Susceptible* atau rentan (S) berdasarkan nilai awal yang diberikan (S_0) = 1414095 yang diselesaikan secara numerik sampai pada iterasi ke-100 atau 50 minggu kedepan, diperoleh $S_{100} = 27093,62739$ dapat dilihat bahwa populasi yang rentan terhadap penyakit *Covid-19* mengalami penurunan dari nilai awal yang diberikan, yang disebabkan adanya kontak dengan individu terinfeksi penyakit *Covid-19*. Pada kelas yang telah tereksposes penyakit (E) diberikan nilai awal (E_0) = 4765 hingga iterasi ke-100 atau 50 minggu kedepan diperoleh $E_{100} = 142,159$, dilihat dari jumlah populasinya mengalami kenaikan yang disebabkan oleh banyaknya populasi rentan yang berkontak dengan individu terinfeksi *Covid-19* dan juga mengalami penurunan yang disebabkan karena

menurunnya populasi terinfeksi yang berpindah menjadi populasi sembuh. Untuk kelas yang telah terjangkit penyakit *Covid-19* (I) diberikan nilai awal (I_0) = 230 hingga iterasi ke-100 atau 50 minggu kedepan diperoleh $I_{100} = 2130,87$, dilihat bahwa jumlah populasinya mengalami kenaikan dan penurunan sejalan dengan meningkatnya dan menurunnya individu terekspose, keluarnya individu pada populasi ini hanya disebabkan ketika individunya sembuh atau individunya meninggal yang disebabkan oleh penyakit *Covid-19*. Pada kelas yang telah sembuh dari penyakit *Covid-19* (R) diberikan nilai awal (R_0) = 140 hingga iterasi ke-100 atau 50 minggu kedepan diperoleh $R_{100} = 1306708$, dilihat bahwa pada populasi ini mengalami kenaikan sama halnya dengan populasi *Exposed* dan *Infected*.

BAB V

PENUTUP

A. KESIMPULAN

Adapun kesimpulan pada penelitian ini adalah sebagai berikut:

1. Model SEIR pada penyebaran penderita penyakit *Covid-19* di Sulawesi

Barat, yaitu:

$$\frac{dS}{dt} = f(t, S, E, I, R) = -(0,0000007071SI)$$

$$\frac{dE}{dt} = g(t, S, E, I, R) = 0,0000007071SI - \left(\frac{1}{2} + 0,00404858\right)E$$

$$\frac{dI}{dt} = h(t, S, E, I, R) = \frac{1}{2}E - (0,23333 + 0,01315789)I$$

$$\frac{dR}{dt} = j(t, S, E, I, R) = 0,23333I$$

2. Adapun solusi numerik model SEIR pada penyakit *Covid-19* menggunakan metode runge-kutta orde empat dengan jarak langkah atau $\Delta x = 0,5$. Pada minggu pertama Agustus 2020 diperoleh solusi numerik yaitu $S = 1412905$, $E = 38705$, $I = 2003$, dan $R = 417$. Pada minggu kedua Agustus 2020 diperoleh solusi numerik yaitu $S = 1410213$, $E = 4498$, $I = 3387$, dan $R = 1047$.

B. SARAN

Adapun saran pada penelitian ini yaitu ketika melakukan perhitungan secara manual penuh dengan ketelitian, penggunaan data yang lebih terbaru dan spesifik sehingga menghasilkan model yang optimal. Semakin bagus asumsi yang digunakan, maka semakin bagus pula model yang dihasilkan

DAFTAR PUSTAKA

- Direktorat Jendral Pencegahan dan Pengendalian Penyakit (P2P) Kementerian Kesehatan RI. “Petunjuk Teknis Pelaksanaan Vaksinasi dalam Rangka Penanggulangan Pandemi *Coronavirus Disease 2019 (Covid-19)*”. 4 Januari 2021. Available: <https://covid19.go.id/storage/app/media/Regulasi/2021/Januari/Final%20SK%20Dirjen%20Juknis%20Vaksinasi%20COVID-19%2002022021.pdf>
- Direktorat Jendral Pencegahan dan Pengendalian Penyakit (P2P) Kementerian Kesehatan RI. “Pedoman Pencegahan dan Pengendalian *Coronavirus Disease (Covid-19)*”. Revisi ke-5. Available: <https://infeksiemerging.kemkes.go.id>
- Doremalen, Neeltje Van dkk. 2020. “Aerosol dan Surface Stability of SARS-CoV—2 as Compared with SARS-CoV-1”. *The New England Journal of Medicine*.
- Eziokwu, C. Emmanuel dkk. 2020. *Convergence Analyses if the Runge-Kutta Fixed Point Iterative Methods*. (Asian Journal of Pure and Applied Mathematics).
- Fang, Yaqing dkk. 2020. “Transmission dynamics of the Covid-19 outbreak and effectiveness of government interverentions: A data-driven analysis”. *Journal Medical Virology*.

- Hadayani, Linda. 2020. “*The Outubreak’s Modeling of Coronavirus (COVIS-19) Using the Modified SEIR Model in Indonesia*”. Jurnal Fisika dan Aplikasinya Vol. 5. Issue. 1.
- Ibnas, Risnawati. 2017. “Persamaan Differensial Eksak dengan Faktor Integrasi”. Jurnal MSA Vol 5. No. 2.
- Ilahim Fadilah. 2021. “Model SEIR untuk penyebaran penyakit Hepatitis C dengan pengobatan pada populasi terinfeksi kronis”. Jurnal Riset dan Aplikasi Matematika. Vol. 5. No. 1.
- Kartono. 2012. “Persamaan Diferensial Biasa”. (Yogyakarta: Graha Ilmu).
- Kertil, Mahmut dan Cem Gurel. 2016. “Mathematical Modeling: A Bridge to STEM Education” *International Journal of Education in Mathematics, Science and Technology (IJEMST)* , Vol . 4 No. 1
- Kusumo, Fajar Adi, dkk. 2020. “Model berbasis SIR dalam prediksi awal penyebaran *Covid-19* di Daerah Istimewa Yogyakarta (DIY)”. Jurnal Matematika Thales (JMT) Vol. 02.
- Mu’tamar, Khozin dkk. 2021. “Analisis penyebaran *Covid-19* dengan menggunakan Model SIR dan Vaksinasi serta estimasi parameter”. Jurnal Ilmu Matematika dan Terapan. Vol 15. No. 2. Hlm 332.
- Mukharom dan Havis Aravik. 2020. “Kebijakan Nabi Muhammad Sallallahu ‘Alaihi Wasallam Menangani Wabah Penyakit Menular dan Implementasinya dalam Konteks Menanggulangi *Coronavirus Covid-19*”. Jurnal Sosial & Budaya Syar-i. Vol. 7 No. 3.

- Sair, Imam Satriyah. 2018. "Solusi Numerik Model Penyebaran Pada Penyakit Hepatitis B di Provinsi Sulawesi Selatan Menggunakan Metode Runge-Kutta Orde Empat". (Makassar: Universitas Negeri Makassar).
- Triatmodjo, Bambang. 2002. "Metode Numerik". (Yogyakarta: Beta Offset).
- Virdani, Diaz dkk. 2021. "Impelentasi kenijakan vaksinasi Covid-19 di Kota Surabaya". Jurnal Publicuho. Vol. 4 No. 2.
- Word Health Organization (WHO). "Novel Coronavirus (2019-nCoV)". *Situation Reports-1: Coronavirus disease (Covid-19) Weeklu Epidemiological Update and Weekly Operational Update*. 21 Januari 2020. Available: <https://www.who.int/emergencies/diseases/novel-coronavirus-2019/situation-reports>
- Word Health Organization (WHO) Indonesia. "Transmisi SARS-CoV-2: implikasi terhadap kewaspadaan pencegahan infeksi". Pernyataan keilmuan. 09 Juli 2020. Available: https://www.who.int/docs/default-source/searo/indonesia/covid19/transmisi-sars-cov-2---implikasi-untuk-terhadap-kewaspadaan-pencegahan-infeksi---pernyataan-keilmuan.pdf?sfvrsn=1534d7df_4
- Zahrih, Fatimatuz. 2011. "Solusi Persamaan Diferensial Parsial Dengan Metode Optimal Time Stepping". Skripsi UIN Maulana Malik Ibrahim Malang.

LAMPIRAN

SURAT KETERANGAN

VALIDASI PENILAIAN KELAYAKAN DAN SUBSTANSI PROGRAM

No : / val / m / 358_2022

Yang bertanda tangan di bawah ini Tim Validasi penilaian kelayakan dan substansi program mahasiswa Jurusan Matematika, Fakultas Sains dan Teknologi, Universitas Islam Negeri Alauddin Makassar menerangkan bahwa karya ilmiah Mahasiswa/ Instansi terkait :

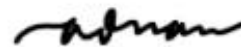
Nama : Anniza Fadhila Haya
Nim : 60600118009
Judul Karya ilmiah : **“Solusi Numerik Model SEIR Pada Penyebaran Penyakit Covid-19 Di Sulawesi Barat Dengan Menggunakan Metode Runge-Kutta Orde Empat”**

Berdasarkan hasil penelitian kelayakan dan substansi program mahasiswa bersangkutan dengan ini dinyatakan **Valid**.

Demikian surat keterangan ini dibuat untuk digunakan sebagaimana mestinya.

Gowa, 28 Maret 2022

Kepala TIM Validasi
Program Studi Matematika



Adnan Sauddin, S. Pd., M. S

A. Data

Data Covid-19 Provinsi Sulawesi Barat

No	Tanggal	Exposed			Infected	Recovered
		PDP	ODP	OTG		
1	Ke-II Maret 2020	0	94	0	0	0
2	Ke-III Maret 2020	1	241	0	0	0
3	Ke-IV Maret 2020	5	644	0	1	0
4	Ke-I April 2020	14	900	0	2	0
5	Ke-II April 2020	20	1062	0	5	1
6	Ke-III April 2020	30	1267	155	7	1
7	Ke-IV April 2020	57	1372	412	42	3
8	Ke-I Mei 2020	64	1470	701	62	5
9	Ke-II Mei 2020	64	1522	810	75	23
10	Ke-III Mei 2020	66	1549	1107	86	27
11	Ke-IV Mei 2020	69	1575	1300	92	41
12	Ke-I Juni 2020	77	1631	1323	94	61
13	Ke-II Juni 2020	86	1669	1358	98	71
14	Ke-III Juni 2020	95	1711	1557	104	77
15	Ke-IV Juni 2020	102	1745	1608	114	83
16	Ke-I Juli 2020	105	1766	1738	124	85
17	Ke-II Juli 2020	114	1804	2071	142	95
18	Ke-III Juli 2020	146	1897	2319	159	104
19	Ke-IV Juli 2020	153	1976	2636	230	140

B. Program dan Output

```
rm(list=ls(all=TRUE))
Rungekutta4<-function(a,b,f,g,t0,S0,E0,I0,R0,h,n){
  t=t0
  S=S0
  E=E0
  I=I0
  R=R0

  for(i in 1:n){
    m1=h*a(t0,S0,E0,I0,R0)
    n1=h*b(t0,S0,E0,I0,R0)
    p1=h*f(t0,S0,E0,I0,R0)
    q1=h*g(t0,S0,E0,I0,R0)

    m2=h*a(t0,S0+0.5*m1,E0+0.5*n1,I0+0.5*p1,R0+0.5*q1)
    n2=h*b(t0,S0+0.5*m1,E0+0.5*n1,I0+0.5*p1,R0+0.5*q1)
    p2=h*f(t0,S0+0.5*m1,E0+0.5*n1,I0+0.5*p1,R0+0.5*q1)
    q2=h*g(t0,S0+0.5*m1,E0+0.5*n1,I0+0.5*p1,R0+0.5*q1)

    m3=h*a(t0,S0+0.5*m2,E0+0.5*n2,I0+0.5*p2,R0+0.5*q2)
    n3=h*b(t0,S0+0.5*m2,E0+0.5*n2,I0+0.5*p2,R0+0.5*q2)
    p3=h*f(t0,S0+0.5*m2,E0+0.5*n2,I0+0.5*p2,R0+0.5*q2)
    q3=h*g(t0,S0+0.5*m2,E0+0.5*n2,I0+0.5*p2,R0+0.5*q2)

    m4=h*a(t0,S0+m3,E0+n3,I0+p3,R0+q3)
    n4=h*b(t0,S0+m3,E0+n3,I0+p3,R0+q3)
    p4=h*f(t0,S0+m3,E0+n3,I0+p3,R0+q3)
    q4=h*g(t0,S0+m3,E0+n3,I0+p3,R0+q3)

    S0=S0+((1/6)*(m1+(2*m2)+(2*m3)+m4))
    E0=E0+((1/6)*(n1+(2*n2)+(2*n3)+n4))
    I0=I0+((1/6)*(p1+(2*p2)+(2*p3)+p4))
    R0=R0+((1/6)*(q1+(2*q2)+(2*q3)+q4))

    t0=t0+h
    t=c(t,t0)
    S=c(S,S0)
    E=c(E,E0)
    I=c(I,I0)
    R=c(R,R0)
  }
  return(data.frame(x=t, S=S, E=E, I=I, R=R))
}
```



TIM VALIDASI PROGRAM STUDI MATEMATIKA

Fakultas Sains dan Teknologi

Universitas Islam Negeri Alauddin Makassar

Kampus II : Jalan Sultan Alauddin No. 36, Romang Polong, Gowa. Telp:(0411)

8221400

```
> a=function(t,S,E,I,R){-1/1414095*S*I}
> b=function(t,S,E,I,R){1/1414095*S*I-1/2*E-1/247*E}
> f=function(t,S,E,I,R){(1/2*E)-(0.23333*I)-(1/76*I)}
> g=function(t,S,E,I,R){0.23333*I}
> Rungekutta4(a,b,f,g,0,1414095,4765,230,140,0.5,100)
```

	X	S	E	I	R
1	0.0	1414095.00	4765.0000	230.000	140.0000
2	0.5	1413718.37	4046.0952	1223.889	227.8904
3	1.0	1412905.73	3870.5517	2003.716	417.6078
4	1.5	1411730.00	4054.1423	2697.719	692.2863
5	2.0	1410213.12	4498.2637	3387.143	1047.0041
6	2.5	1408343.89	5155.3081	4127.276	1484.6426
7	3.0	1406087.73	6008.8031	4959.841	2013.6465
8	3.5	1403391.65	7062.1418	5920.406	2646.9113
9	4.0	1400186.43	8332.3069	7042.938	3401.3525
10	4.5	1396386.97	9846.4969	8362.738	4297.9021
11	5.0	1391891.74	11640.4317	9918.455	5361.7889
12	5.5	1386581.42	13757.6087	11753.603	6623.0208
13	6.0	1380317.22	16249.0630	13917.788	8117.0268
14	6.5	1372939.06	19173.3321	16467.770	9885.4305
15	7.0	1364263.73	22596.3994	19468.393	11976.9403
16	7.5	1354083.30	26591.4118	22993.370	14448.3402
17	8.0	1342164.11	31237.9622	27125.867	17365.5612
18	8.5	1328246.73	36620.6953	31958.769	20804.8026
19	9.0	1312047.30	42826.9649	37594.486	24853.6606
20	9.5	1293260.83	49943.2329	44144.076	29612.1959
21	10.0	1271567.26	58049.8851	51725.449	35193.8480
22	10.5	1246640.91	67214.1651	60460.332	41726.0717
23	11.0	1218164.02	77481.0190	70469.681	49350.5308
24	11.5	1185845.05	88861.8432	81867.214	58222.6507
25	12.0	1149441.72	101321.4614	94750.823	68510.2944
26	12.5	1108788.51	114764.1523	109191.783	80391.3080
27	13.0	1063827.08	129020.1806	125221.958	94049.6859
28	13.5	1014637.21	143834.9886	142819.576	109670.1532
29	14.0	961464.39	158863.8110	161894.723	127431.0577
30	14.5	904739.27	173674.7510	182276.192	147495.6297
31	15.0	845083.90	187763.0017	203701.886	170001.8936
32	15.5	783300.10	200577.6831	225815.176	195051.7816
33	16.0	720337.68	211560.6513	248169.472	222700.2844
34	16.5	657242.94	220193.9067	270242.519	252945.6921
35	17.0	595092.30	226049.5466	291460.634	285722.0882
36	17.5	534919.09	228834.4606	311231.405	320895.1879
37	18.0	477643.61	228421.9388	328981.695	358262.3378
38	18.5	424016.49	224864.3685	344196.472	397557.0443
39	19.0	374582.54	218384.8130	356453.600	438457.8426
40	19.5	329668.47	209349.4762	365450.240	480600.7712
41	20.0	289392.81	198226.5900	371017.948	523594.2875
42	20.5	253693.40	185539.1816	373125.465	567035.2271
43	21.0	222365.35	171819.1510	371870.097	610524.4068
44	21.5	195102.70	157568.4835	367460.057	653680.6672
45	22.0	171538.00	143230.9830	360190.950	696152.4816
46	22.5	151276.18	129175.4400	350419.713	737626.6417
47	23.0	133920.87	115689.2145	338538.904	777833.8995
48	23.5	119093.05	102980.0601	324953.496	816551.7373
49	24.0	106442.72	91183.6048	310061.527	853604.6469
50	24.5	95655.15	80374.0438	294239.180	888862.4067



TIM VALIDASI PROGRAM STUDI MATEMATIKA

Fakultas Sains dan Teknologi

Universitas Islam Negeri Alauddin Makassar

Kampus II : Jalan Sultan Alauddin No. 36, Romang Polong, Gowa. Telp:(0411)

8221400

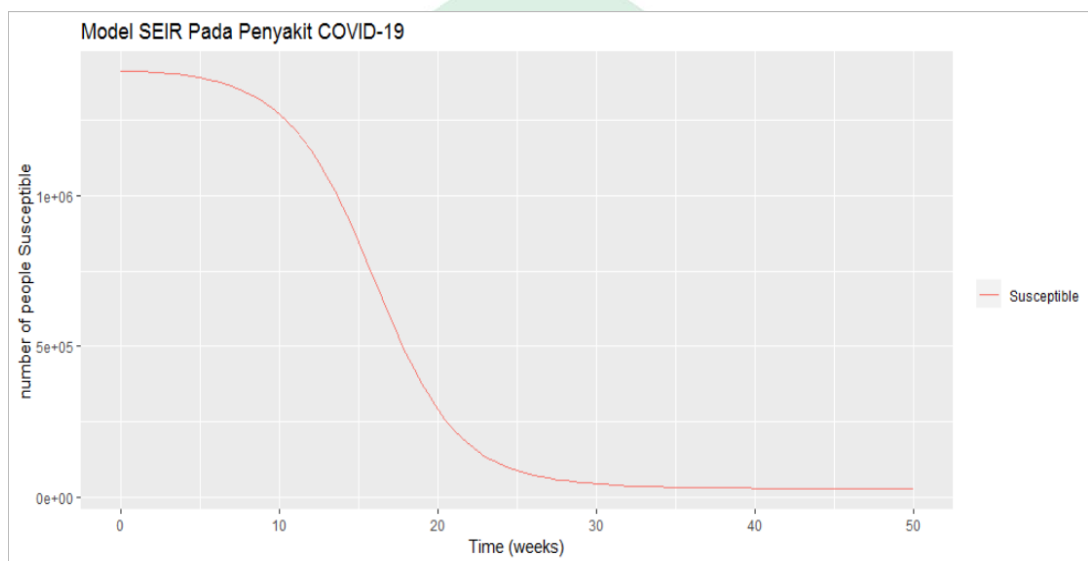
51	25.0	86452.91	70576.0528	277830.288	922236.8779
52	25.5	78595.16	61776.4881	261139.855	953677.8168
53	26.0	71875.27	53934.9786	244430.967	983168.1349
54	26.5	66117.43	46992.9479	227924.360	1010718.9605
55	27.0	61173.02	40880.9253	211799.962	1036364.7721
56	27.5	56916.91	35524.2093	196199.772	1060158.7945
57	28.0	53244.02	30847.0645	181231.561	1082168.7844
58	28.5	50066.27	26775.6820	166972.972	1102473.2735
59	29.0	47309.82	23240.1446	153475.719	1121158.2988
60	29.5	44912.73	20175.6200	140769.672	1138314.6179
61	30.0	42823.00	17522.9762	128866.660	1154035.3854
62	30.5	40996.90	15228.9805	117763.942	1168414.2543
63	31.0	39397.56	13246.2116	107447.275	1181543.8588
64	31.5	37993.82	11532.7820	97893.585	1193514.6323
65	32.0	36759.27	10051.9483	89073.247	1204413.9137
66	32.5	35671.47	8771.6608	80952.000	1214325.2982
67	33.0	34711.32	7664.0924	73492.535	1223328.1923
68	33.5	33862.44	6705.1722	66655.783	1231497.5358
69	34.0	33110.83	5874.1407	60401.949	1238903.6592
70	34.5	32444.41	5153.1356	54691.326	1245612.2485
71	35.0	31852.79	4526.8155	49484.920	1251684.3936
72	35.5	31326.96	3982.0209	44744.916	1257176.6999
73	36.0	30859.12	3507.4739	40435.021	1262141.4472
74	36.5	30442.46	3093.5139	36520.698	1266626.7817
75	37.0	30071.06	2731.8668	32969.311	1270676.9303
76	37.5	29739.74	2415.4451	29750.209	1274332.4274
77	38.0	29443.97	2138.1750	26834.753	1277630.3489
78	38.5	29179.75	1894.8482	24196.303	1280604.5467
79	39.0	28943.59	1680.9943	21810.172	1283285.8787
80	39.5	28732.38	1492.7727	19653.564	1285702.4342

81	40.0	28543.40	1326.8793	17705.488	1287879.7488
82	40.5	28374.24	1180.4680	15946.666	1289841.0102
83	41.0	28222.76	1051.0834	14359.434	1291607.2522
84	41.5	28087.06	936.6040	12927.639	1293197.5370
85	42.0	27965.46	835.1935	11636.540	1294629.1255
86	42.5	27856.46	745.2602	10472.701	1295917.6359
87	43.0	27758.73	665.4213	9423.894	1297077.1905
88	43.5	27671.09	594.4740	8479.009	1298120.5511
89	44.0	27592.48	531.3699	7627.959	1299059.2437
90	44.5	27521.96	475.1937	6861.595	1299903.6732
91	45.0	27458.67	425.1447	6171.630	1300663.2280
92	45.5	27401.88	380.5216	5550.559	1301346.3763
93	46.0	27350.91	340.7086	4991.596	1301960.7531
94	46.5	27305.15	305.1648	4488.603	1302513.2400
95	47.0	27264.06	273.4137	4036.038	1303010.0381
96	47.5	27227.18	245.0355	3628.892	1303456.7334
97	48.0	27194.06	219.6592	3262.649	1303858.3567
98	48.5	27164.31	196.9571	2933.230	1304219.4379
99	49.0	27137.60	176.6389	2636.959	1304544.0550
100	49.5	27113.61	158.4473	2370.523	1304835.8787
101	50.0	27092.06	142.1542	2130.934	1305098.2122

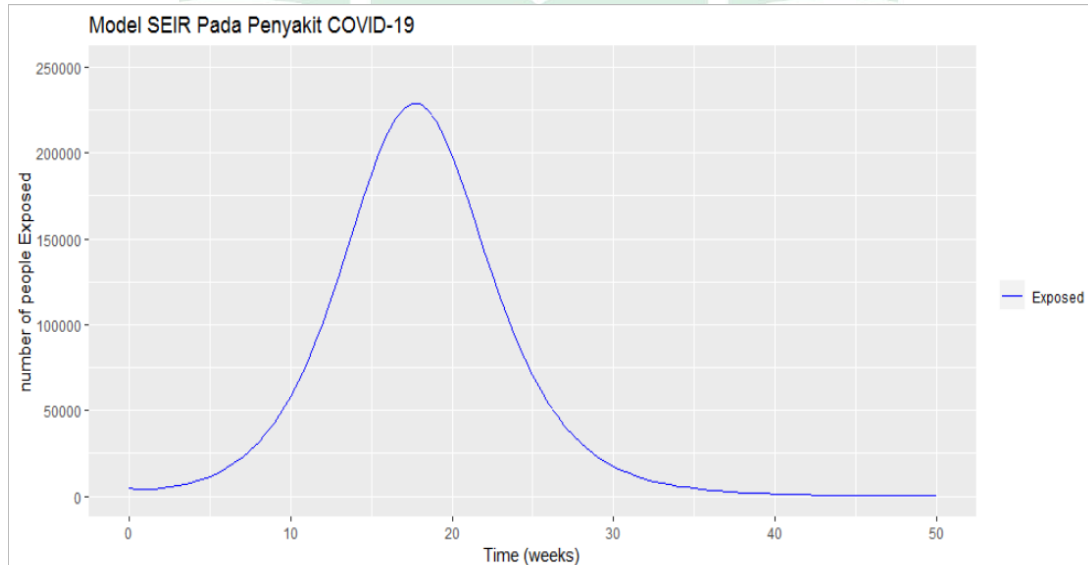
```
> RK4=Rungekutta4(a,b,f,g,0,1414095,4765,230,140,0.5,100)  
> RK44<-data.frame(RK4)
```



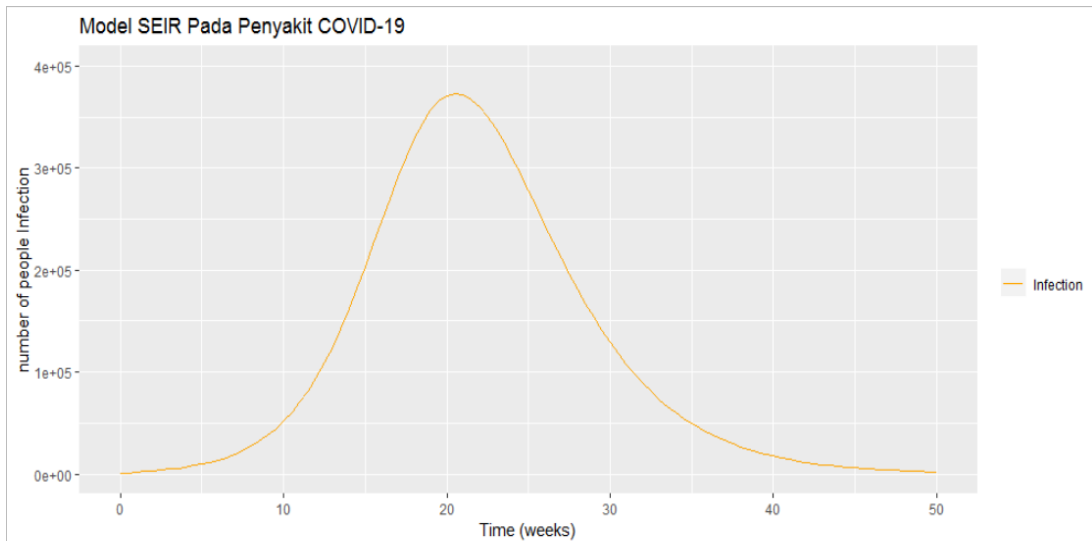
```
> library(ggplot2)
> library(cowplot)
> AA<-ggplot(RK44, aes(x,S))+geom_line(aes(color="Susceptible"))+ labs(colour = "")+
+   labs(title = "Model SEIR Pada Penyakit COVID-19", x = "Time (weeks)",y = "number
of people Susceptible")+ theme(legend.position = "right")+
+   coord_cartesian(ylim = c(25000, 1410000))
> AA
```



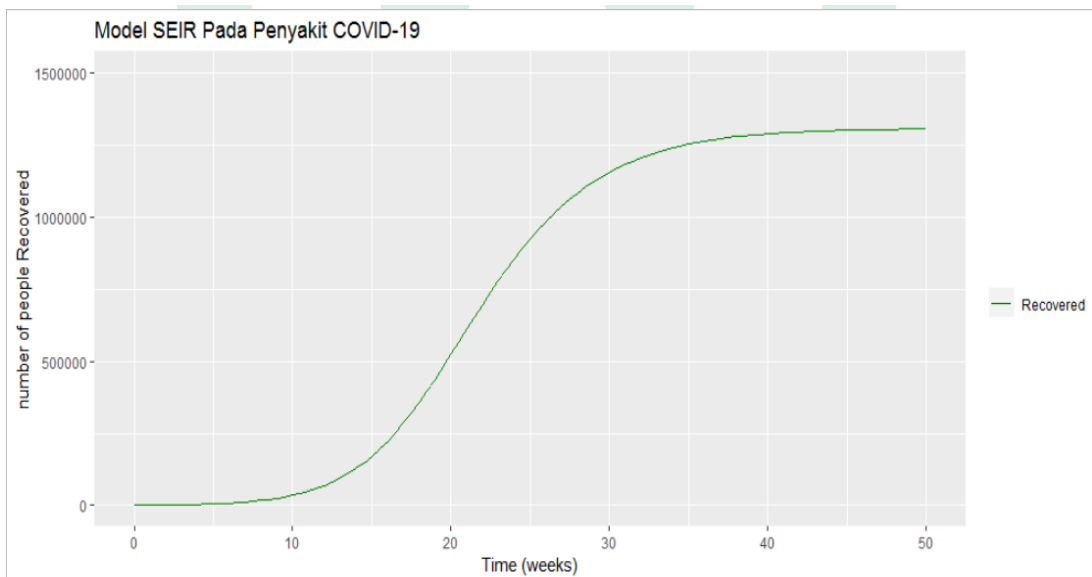
```
> BB<-ggplot(RK44, aes(x,E)) +geom_line(aes(color = "Exposed"))+ labs(colour = "")+
+   labs(title = "Model SEIR Pada Penyakit COVID-19", x = "Time (weeks)",y = "number
of people Exposed")+ theme(legend.position = "right")+
+   coord_cartesian(ylim = c(100, 250000))+scale_color_manual(values=c('#0000FF'))
> BB
```



```
> CC<-ggplot(RK44, aes(x,I)) +geom_line(aes(color = "Infection"))+ labs(colour = "")+
+ labs(title = "Model SEIR Pada Penyakit COVID-19", x = "Time (weeks)",y = "number
of people Infection")+ theme(legend.position = "right")+
+ coord_cartesian(ylim = c(200, 400000))+scale_color_manual(values=c('#FFA500'))
> CC
```



```
> DD<-ggplot(RK44, aes(x,R)) +geom_line(aes(color = "Recovered"))+ labs(colour = "")+
+ labs(title = "Model SEIR Pada Penyakit COVID-19", x = "Time (weeks)",y = "number
of people Recovered")+ theme(legend.position = "right")+
+ coord_cartesian(ylim = c(140, 1500000))+scale_color_manual(values=c('#008000'))
> DD
```



BIODATA PENULIS



Penulis bernama Anniza Fadhila Haya. Lahir di Makassar Provinsi Sulawesi Selatan pada tanggal 18 Oktober 2000. Penulis merupakan anak ketiga dari 4 bersaudara yaitu dari pasangan suami istri Bapak Drs. Gazalidu dan Ibu Ir. A. Nirmayanti Azas. Penulis bertempat tinggal di jl. Stadion, Mamuju, Provinsi Sulawesi Barat.

Penulis memulai pendidikan di Sekolah Dasar Inp. Puncak Mamuju, lulus pada 2012. Pada tahun yang sama melanjutkan pendidikan di Sekolah Menengah Pertama Negeri 2 Mamuju, lulus pada tahun 2015. Kemudian pada tahun yang sama melanjutkan pendidikan di Sekolah Menengah Atas Negeri 1 Mamuju dan lulus pada tahun 2018. Dan pada tahun yang sama penulis melanjutkan pendidikan di Universitas Islam Negeri (UIN) Alauddin Makassar ada Jurusan Matematika Fakultas Sains dan Teknologi dan selesai tahun 2022.

UNIVERSITAS ISLAM NEGERI
ALAUDDIN
MAKASSAR